

CB20461/M-49-1

МИНИСТЕРСТВО ГЕОЛОГИИ СССР

МИНИСТЕРСТВО ГЕОЛОГИИ РСФСР

БУРЯТСКОЕ ГЕОЛОГИЧЕСКОЕ УПРАВЛЕНИЕ

МИНИСТЕРСТВО ВЫСШЕГО И СРЕДНЕГО СПЕЦИАЛЬНОГО ОБРАЗОВАНИЯ УССР
КИЕВСКИЙ ГОСУДАРСТВЕННЫЙ УНИВЕРСИТЕТ

ГЕОЛОГИЧЕСКАЯ КАРТА СССР

масштаба 1:200 000

Серия Западно-Забайкальская

Лист М-49-1

**ВОЗВРАТИТЕ КНИГУ НЕ ПОЗЖЕ
обозначенного здесь срока**

Тип. им. Котлякова. 4 — 7 500 000. 1984 г. ЛГ-087-01-539.
Цена 0 р. 58 к. за 1000 шт.

Объяснительная записка

Составители: В. А. Безруков, А. А. Ломаев
Редактор Н. А. Флоренсов

Утверждено Научно-редакционным Советом ВСЕГЕИ
7 февраля 1963 г., протокол № 5

9470



ИЗДАТЕЛЬСТВО «НЕДРА»
МОСКВА 1970

ВВЕДЕНИЕ

Территория листа охватывает в основном Заиграевский и частично Мухор-Шибирский и Тарбагатайский районы Бурятской АССР и Петровско-Забайкальский район Читинской области.

Описываемая территория представляет собой среднегорную страну, расчлененную долинами рек на ряд самостоятельных орографических единиц.

Геологическая съемка территории листа М-49-1 проводилась сотрудниками Забайкальской экспедиции геологического факультета Киевского государственного университета.

Географические координаты листа: $51^{\circ} 20' - 52^{\circ} 00'$ с. ш. и $108^{\circ} 00' - 109^{\circ} 00'$ в. д. от Гринвича.

На севере площади листа располагается Худунский хребет. Он ограничивается с севера Удинской депрессией, а с юга долиной р. Ильки. Хребет вытянут в широтном направлении и представляет собой сильно уплощенное денудацией горное сооружение со слабо выраженными вершинами. Максимальные высоты хребта не превышают 1300 м; относительные превышения наиболее высоких вершин над уровнем долины р. Уды составляют 400—500 м. Многочисленные речные долины расчленяют хребет на ряд больших отрогов (массивы гор Мангазей, Хохирта и др.).

В южной части территории листа располагается хр. Цаган-Дабан (восточная часть), который вместе с отрогами занимает почти половину площади листа. Он ориентирован в субширотном направлении и ограничен на юге Тугнуйской депрессией, на севере — долиной р. Ильки. Максимальные отметки хребта достигают 1400 м. Водораздельная часть хребта, несмотря на значительное превышение над днищами долин рек и ручьев (500—600 м), имеет сильно уплощенную поверхность. Склоны хребта изрезаны падями на отдельные гривы и возвышенности.

Реки района принадлежат двум крупным бассейнам: р. Уды на севере и р. Хилка на юге. Река Уда занимает широкую, местами более 10 км, долину, заболоченную на правом и с террасами на левом берегу. Река Брянка и ее крупный приток Илька протекают по широким долинам. На юго-востоке протекает Баляга, которая в пределы площади листа входит своими верховьями. На юге района имеется значительное количество ручьев (Дабаты, Кусота, Шенестуй, Намарзан и др.), которые пересыхают при выходе в долину р. Тугнуй. Мелкие водотоки в центральной части района представлены притоками рек Брянки и Ильки (Маргантай, Колтыгей, Кокытей, Дардынкул, Мазенкул и др.). Речки Мухор-Тала и Ташеланка теряют свои воды в песках.

Климат района резко континентальный; характеризуется суровой малоснежной зимой и умеренно теплым летом с недостаточной влажностью. Среднегодовое количество осадков составляет 240 мм, причем распределение их следующее: за период декабрь-март выпадает 25 мм, а за апрель-ноябрь 215 мм. Средняя минимальная температура января — -26°C , средняя максимальная температура июля $+18,6^{\circ}\text{C}$, среднегодовая температура -3°C . Абсолютные значения температур зимних и летних месяцев дают резкую амплитуду колебаний (январь -53°C , июль $+38^{\circ}\text{C}$). Безморозный период длится примерно 2,5—3 месяца.

В лесах района произрастают преимущественно хвойные деревья (сосна и лиственница, реже ель, пихта и кедр). Из лиственных пород встречаются бересека, ольха и осина. Лесные массивы имеют большее распространение на северных склонах хребтов и возвышенностей, а также вершинах горных хребтов.

Район хорошо обжит. Наиболее крупными являются поселки, расположенные вдоль Восточно-Сибирской железнодорожной магистрали, пересекающей район с северо-запада на юго-восток (Онохой, Заиграево, Илька, Новая Илька, Горхон и др.), а также села Новая и Старая Брянь, Мухор-Тала. Кроме того, имеется много поселков лесозаготовителей (24-й километр, Шабур, Атхатай, Сангон и др.), значительная часть которых в настоящее время заброшены, что связано с закрытием отдельных лесозаготовительных участков (Тамахтай, Улентуй, Дырдынкул).

Население района смешанное. Преобладают буряты и русские, которые заняты в сельском хозяйстве, на лесозаготовительных работах и в горнодобывающей промышленности. Значительная часть населения занята на железнодорожном транспорте и предприятиях местного значения (деревообделочные комбинаты, кирпичные заводы и др.).

Район покрыт густой сетью грунтовых и улучшенных автодорог. На севере проходит шоссейная дорога Улан-Удэ — Чита, а в центральной части улучшенная грунтовая дорога Улан-Удэ — Кижинга.

Геологическое изучение района началось еще в прошлом столетии. До восьмидесятых годов его посетили многие исследователи, но их материалы в настоящее время имеют лишь историческое значение.

В 1895—1998 гг. в районе трассы Сибирской железной дороги проводил геологические исследования В. А. Обручев. Он подчеркивал особое значение для Забайкалья разломов, создавших здесь значительное количество горстов и грабенов.

В 1930—1931 гг. в прилегающих районах, частично захватывая территорию листа, велась геологическая съемка масштаба 1 : 200 000 (В. В. Белоусов, А. Д. Масленников и др.). Авторы указывали на большое значение покровных альпийских структур и на развитие послеюрских гранитоидов.

В том же году в районе Петровского завода Б. А. Максимовым проводилась геологическая съемка масштаба 1 : 200 000. При этом нормальноосадочные отложения, относимые в настоящее время к гусиноозерской серии, были разделены на два самостоятельных комплекса. Более молодому из них приписывался верхнетретичный возраст. Значительная часть гранитоидов отнесена к послеюрским.

И. С. Валицкая и Е. А. Пресняков в 1934 г. провели в районе Петровского завода геологоэкономическую съемку масштаба 1 : 100 000. Авторы отмечали наличие здесь послеюрских гранитоидов и покровных структур, а самыми молодыми магматическими образованиями считали базальты.

В 1939 г. в северо-восточной части «Селенгинской Даурии» производили геологическую съемку масштаба 1 : 1 000 000 А. А. Арсеньев и П. М. Клевенский. Подробный разрез, приведенный этими авторами, наиболее соответствует действительности. В том же году на территории листа проводились магнитометрические работы под руководством Г. Н. Ляшенко. Все магнитные аномалии, выявленные этими работами, были признаны практически не интересными.

Определением запасов известняков, годных для флюсов, в 1940 г. занимались на территории листа М. В. Кислякова и Д. В. Титов. В 1940 г. на западной части площади листа С. Н. Коровиным и А. Е. Дербиной проводилась геологическая съемка масштаба 1 : 100 000. На составленной ими геологической карте не было дано дробного расчленения пород, некоторые границы их распространения изображены слишком схематично, нанесены большие «поля» дайковых пород без указания на вмещающие их породы. Кроме того, поиски проведены некомплексно. Вследствие этого карта была признана некондиционной.

Геологоразведочные работы на месторождениях известняков в 1950—1952 гг. проводили Д. Э. Цыденова (Билютинское месторождение) и В. Ф. Донцов (Татарский Ключ).

В 1955—1956 гг. Артышской партией Государственного союзного Западно-Сибирского геологоразведочного треста под руководством А. К. Стельмаховича проведены разведочные работы на месторождении Кварцевая Гора. По данным этих работ, месторождение кварца связано с молодыми гранитами, а сама залежь образовалась путем замещения пегматитового шлифа гидротермальным кварцем. Авторами отмечено наличие значительного количества молибдена в кварце, но оруденение признано непромышленным.

В 1956 г. в Центральном Забайкалье проведена аэромагнитная съемка масштаба 1 : 200 000 (В. В. Суслеников и М. А. Добин) и в пределах территории листа установлено несколько аномальных зон. Детальные геологоразведочные работы на Мухор-Талинском месторождении перлитов в 1958—1959 гг. проводили Н. С. Круцко и Г. Ф. Чиркин.

На геологической карте листа М-49-1 по западной (лист М-48-VI) и северной (лист N-49-XXXI) рамкам имеются некоторые расхождения в контурах и индексации геологических подразделений. Это объясняется тем, что при составлении геологических карт указанных смежных листов авторы пользовались топографической старой изданий. Кроме того, карты составлялись до утверждения во ВСЕГЕИ легенд к геологическим картам масштаба 1 : 200 000 Западно-Забайкальской серии.

Во время полевых работ и при составлении геологической карты листа М-49-1 использовались аэрофотоснимки масштаба 1 : 33 000 и все материалы по геофизическим работам.

В основу составления геологической карты листа М-49-1 положены отчеты Ильинской партии (В. А. Безруков и др.) за 1959 и 1960 гг., результаты редакционно-увязочных маршрутов в 1961 г., а также частично отчет С. Н. Коровина и А. Е. Дербиной (1941).

Главы объяснительной записи — введение, интрузивные образования, полезные ископаемые, результаты геофизических работ и отдельные разделы стратиграфии написаны В. А. Безруковым, а стратиграфия, тектоника, геоморфология и подземные воды — А. А. Ломаевым. Геологическая карта и карта полезных ископаемых составлены В. А. Безруковым при участии Т. А. Рокачук.

СТРАТИГРАФИЯ

Строение территории листа М-49-1 очень сложно. Характерной его особенностью является разобщенность выходов стратифицированных толщ и почти полное отсутствие палеонтологических остатков в осадочных отложениях (кроме четвертичных).

Рассматриваемый район слагают протерозойские, триасовые, юрские, нижнемеловые, палеогеновые, неогеновые и четвертичные отложения. Протерозойские отложения являются геосинклинальными; мезозойские, палеогеновые, а также молодые базальты, представляют отложения тектонических впадин и ослабленных зон субплатформенного типа. В разрезе мезо-кайнозоя большое развитие имеют эффузивные образования.

ВЕРХНИЙ КОМПЛЕКС ПРОТЕРОЗОЯ

Отложения, относимые к протерозойской группе, обнажены на территории листа локально. Многочисленные ксенолиты метаморфических протерозойских пород встречаются преимущественно среди гранитоидов хамар-дабанского интрузивного комплекса и редко — среди джикинского. Размеры ксенолитов обычно невелики, но в трех участках метаморфические породы образуют массивы больших размеров: в бассейне р. Билюты (50 км²), в районе Балагинских железорудных карьеров и на водоразделе Баляги и Кизи.

Породы докембрия отличаются высокой степенью метаморфизма и сильной дислокированностью. Ни в одном из участков их распространения нет ясно выраженных взаимоотношений между всеми типами метаморфических пород — они встречаются разобщенно. Общую картину строения докембрейских образований усложняют многочисленные разрывные нарушения и секущие магматические тела.

По характеру разреза комплекс метаморфических пород условно отнесен к биту-джидинской толще.

Биту-джидинская толща нерасчлененная ($Pt_3 bd$). Значительная часть разреза толщи наблюдается в бассейне р. Билюты и представляется в следующем виде (снизу вверх):

1. Сланцы кварцево-слюдистые, филлитовидные	330 м
2. Известник кристаллический, слоистый	30 „
3. Метаморфизованные песчаники биотит-амфиболовые, карбонатные, преимущественно массивные	850 „
4. Известник кристаллический, слоистый	10 „
5. Амфибол-скаполитовые	450 „
6. Сланцы кварцитовидные, слюдистые слоистые	400 „

Подстилающие данную толщу отложения не установлены, а первая пачка, по-видимому, не является самой нижней.

Западнее описанного разреза за линией большого Билютинского сброса расположен крупный массив известняков (Мойсовское и Билютинское месторождения). С севера известняки ограничены сбросом, проходящим в субширотном направлении через выс. Мазенкул. Весь массив разбит системой нарушений на отдельные блоки и прорывается дайками различного состава.

Сильная раздробленность массива известняков и недостаточная обнаженность не позволяют составить разрез карбонатной толщи. Мощность всей пачки значительна и превышает 500 м.

На водоразделе Балаяг — Киж выходит метаморфизованные песчаники и сланцы, соответствующие таковым в разрезе биту-джидинской толщи бассейна р. Билюты. Здесь они залегают моноклинально с падением на юг (30—45°), разбиты сбросами и прорваны разнообразными интрузивными породами. В верху разреза толщи отмечается увеличение карбонатности пород.

Южнее сланцевые породы сменяются (непосредственно переходы не прослеживаются) мигматитами, которые постепенно переходят в граниты хамардабанского комплекса.

В районе с. Заиграево крупные и мелкие ксенолиты известняков окаймляются мигматитами и содержат небольшие зоны скарнов. Вблизи от них обнажены гнейсы (до 100 м мощности) и амфиболиты. Те и другие связаны переходами с мигматитами.

Общая мощность биту-джидинской толщи составляет более 2200 м. Положение известняков и доломитов, а также гнейсов и амфиболитов в общем разрезе не ясно. Возможно последние находятся в сопровождении разреза.

Гнейсы встречаются в виде небольших тел среди мигматитов и в больших ксенолитах совместно с кристаллическими известняками (в районе Таяшинской, по руч. Куидулунка). Это серые мелко-зернистые, часто полосчатые породы с гранобластовой и нематогранобластовой структурой. Основными минералами, слагающими породу, являются олигофил (40—50%), кварц (15—25%), микроклин (10—25%). Темноцветные минералы представлены роговой обманкой (до 20%), в некоторых разновидностях, биотитом (до 8%) и пироксеном (до 5%). Аксессорные минералы представлены апатитом, сфеином и рудным минералом. Наблюдается эпидотизация полевых шпатов и образование эпимагматических мусковита и клиноцизита. Биотит часто хлоритизирован.

Амфиболиты встречаются в ксенолитах, большей частью совместно с кристаллическими известняками. Они представляют собой средне- и крупнозернистые массивные породы темно-серого или черного цвета, с зеленоватым оттенком. Породообразующие минералы: обыкновенная роговая обманка (70—80%), плагиоклаз и биотит. Кварц присутствует в очень незначительных количествах.

Аксессорные минералы: магнетит, апатит, сфеин и очень редко пирит: вторичные — эпидот, хлорит, серицит, кальцит. Структура гранобластовая, текстура массивная.

Кварцево-слюдистые сланцы лежат в основании сланцеватой части разреза биту-джидинской толщи и встречаются только в районе р. Билюты. Это тонкозернистые сланцеватые породы черного цвета. Структура микролепидогранобластовая. Эти породы являются по-видимому, продуктом метаморфизма пелитовых пород, нераскристаллизованные участки которых составляют до 30% общего состава. Главные минералы: кварц (30—40%), серицит и слабоокрашенный биотит (до 40%). Иногда в значительных количествах (до 10%) присутствует магнетит.

Метаморфизованные полимиктовые песчаники встречаются по рекам Билюте и Балаяге. Это слоистые и массивные, тонко- и мелкозернистые породы серого и темно-серого цвета с зеленоватым оттенком. Структура их бластопсаммитовая. Главными минералами являются: кварц 30—40%, роговая обманка до 20%, скаполит 10—15%. Во многих разновидностях наблюдаются кальцит (до 10%), микроклин (до 15%), моноклинный пироксен (5—10%) и биотит (до 15%). Аксессорные минералы — магнетит, сфеин, апатит. Из вторичных присутствует эпидот, содержащий которого иногда достигает 10%.

Амфибол-скаполитовые сланцы связаны с метаморфизованными песчаниками постепенными переходами. Мощность их около 450 м. Они представляют собой тонко- и мелкозернистые сланцеватые породы темно-серого и темно-зеленого цвета. Структура гранобластовая с участками бластопсаммитовой. Главными минералами являются роговая обманка (до 30%), кварц (20—30%), скаполит (10—20%), микроклин (10—20%). Аксессорные минералы — сфеин, апатит и магнетит; вторичные — хлорит и эпидот.

Кварцитовидные сланцы располагаются в верхних частях толщи (около 400 м по мощности) и связаны постепенными переходами с амфибол-скаполитовыми сланцами. Это светло-серые сланцеватые, нередко слоистые, тонко- и мелкозернистые породы. Структура бластопсаммитовая и лепидогранобластовая. Состав они из кварца (60—70%), мусковита (10—20%), полевых шпатов (до 20%). Аксессорные минералы — апатит и рудный; вторичные — эпидот, хлорит, треполит.

Карбонатные породы представлены крупно- и среднезернистыми разностями белого или серого цвета. Они почти нацело состоят из кальцита. Из второстепенных минералов встречаются мелкие зерна скаполита, моноклинного пироксена, бесцветной слюды. По химическому составу выделяются известняки, доломитизированные известняки и доломиты. На контакте кристаллических известняков с гранитоидами, как правило, появляются зоны скарнирования, мощность которых колеблется от нескольких сантиметров до 10 м и более. Среди скарнов главное место занимают скаполит-амфибол-пироксеновые, скаполит-пироксеновые и мусковит-скаполитовые разновидности.

ТРИАСОВАЯ СИСТЕМА

Цаган-хунтейская свита (Tch). Отложения, относимые к цаган-Хунтейской свите, имеют локальное распространение и приурочены к зонам разломов и тектонических депрессий. Наибольшую площадь они занимают в бассейнах притоков р. Брянки, руч. Кокытай, Захотуй, Ямная, Атхатай Заречный (свыше 25 км²), Колтыгей и Бойца, протягиваясь к западу от руч. Захотуй на территорию соседнего листа (Ветров, 1958). Небольшие участки их встречаются по рекам Балаяг, Киже, Барун-Тарбагатаю и на массиве г. Мазенкул. Скважинами в долине р. Уды под меловыми отложениями встречены порфиры, залегающие на метаморфических породах протерозоя.

Плохая обнаженность и разобщенность отдельных выходов не позволяют составить полный разрез свиты. Схема этого разреза дается на основании сопоставления взаимоотношений различных петрографических типов пород, состава обломочной части лавово-туфогеных пород и по данным соседних районов (Ветров, 1958; Налетов, 1961; Новиков, 1961).

Весь комплекс пород, относимый к цаган-хунтейской свите, представлен пестроокрашенными эфузивными и пирокластическими образованиями. Свиту в данном районе слагают (снизу вверх):

1. Порфиры, частично брекчированные	свыше 300 м
2. Фельзиты, фельзит-порфиры, кварцевые порфиры, их туфы и англомераты	150—200 „
3. Туфолавы, туфобрекчи и лавобрекчи кислого состава	до 200 „

Последние две группы часто перемежаются и не выдержаны по простиранию. Повсеместно вулканогенные породы рассекаются дайками кварцевых порfirov, сиенит-порfirov, мелкозернистых гранитов и диоритов.

Порфиры встречаются в нижней части разреза цаган-хунтейской свиты. Это плотные, иногда слабо полосчатые породы зеленовато-серого и темно-серого до черного цвета. В них отчетливо видны порфировые выделения плагиоклаза. Структура пород порфировая, основная масса обладает кристаллической, микродиабазовой, микролитовой и, реже, трахитовой структурой.

Плагиоклаз во вкраепленниках представлен андезином и в редких случаях олигоклазом или лабрадором. Кроме плагиоклаза во вкраепленниках присутствуют амфибол, биотит, пироксен. Среди порfirитов выделяются амфиболовые, пироксеновые и смешанные разности. Иногда в основной массе пород появляется небольшое количество кварца.

Описываемые породы изменены процессами хлоритизации, эпидотизации и серицитации. Вкраепленники плагиоклаза и амфиболя сильно разрушены. Часто отмечается катализ (дробление, изогнутость пластинок биотита и двойниковых полос плагиоклаза). Возможно, что все указанные изменения пород связаны с полуседующими наложенными процессами.

В устье руч. Захотуй порfirиты наблюдаются в виде небольших жил в гранитах джидинского комплекса. Эти жилы, по-видимому, являются остатками подводящих каналов. В бассейне р. Балыги порfirиты залегают в виде покрова мощностью свыше 100 м на протерозойских породах. Взаимоотношения порfirитов с кислыми эфузивами и туфозами породами неясны, хотя обломки порfirитов обычны в лаво- и туфобрекчиях кислого состава.

Фельзиты, фельзит-порфиры — массивные, редко слоистые, афировые и порфировые породы розового и серого цвета с зеленоватым оттенком. Структура их афировая или порфировая с фельзитовой или микролитовой структурой основной массы. Последняя состоит из слабо раскристаллизованного кварц-полевошпатового вещества, измененного процессами пелитизации и эпидотизации. В порфировых выделениях калиевый полевой шпат, реже альбит.

Кварцевые порфиры пользуются большим распространением. Это массивные и полосчатые породы серого, розового, сиеневого цвета, иногда с зеленоватым оттенком. В них нередки порфировые выделения кварца и полевого шпата. Имеются олигофировые и полифировые разности с преобладанием последних. Структура основной массы фельзитовая или микроранитовая, иногда ортофировая, трахитовая или сферолитовая. Основная масса состоит из кварца, калиевого полевого шпата, реже альбита. Иногда наблюдается флюидальность, создаваемая ориентированной зерен полевых шпатов. Отмечаются случаи замещения калишпата альбитом.

Туфы витрокластических пород кислого состава представляют собой плотные, иногда пористые, серые, серовато-зеленые, розовые, сиеневые и беловатые породы, часто пятнистые. Структура их витрокластическая. Цементирующая масса афанитовая с включениями обломков, представленных полевым шпатом, кварцем, биотитом, стеклом, фельзитами, кварцевыми порfirитами, трахитоидными и др. породами. Все обломки оплавлены, размер их колеблется в пределах от 0,05 до 3,0 мм. Цементирующая масса состоит из стекловатой пыли, различной при больших увеличениях, и сильно изменена вторичными процессами. По ориентировке серицита, рудного минерала или по полосам различного строения отмечается флюидальность.

Туфолавы, туфобрекчи и лавобрекчи пород кислого состава имеют широкое распространение в свите. Туфобрекчи представляют собой грубообломочные породы, причем обломки — размерами до 5 см — состоят из описанных выше пород, а также сиенит-порfirов, палеозойских и протерозойских гранитов, метаморфических сланцев, скементированных раскристаллизованным стеклом. Обломки угловатые, редко слабо слаженные.

Туфолавы и лавобрекчи являются плотными или реже пористыми, слоистыми породами различного цвета — серого, розовато-зеленого, розовато-бурового до черного. Флюидальная стекловатая основная масса этих образований содержит обломки различных пород и минералов. Широко развиты вторичные изменения (окварцевание, альбитизация, эпидотизация). Имеются однородные лавобрекчи, образованные из поверхностных частей лавовых потоков и лавобрекчи сложного состава, связанные с внедрением лавы по зонам разломов. Эти породы имеют пестрый состав обломков и часто четкое флюидальное строение.

В составе свиты отмечается увеличение кислотности пород к верхам разреза. Формирование ее шло как за счет излияния лав по трещинам с образованием покровов и потоков, так и возможно путем выбросов из эруптивных аппаратов.

Возрастное положение цаган-хунтейской свиты определяется тем, что описанные эфузивы несогласно перекрывают гранитоиды хамардабанского и джидинского интрузивных комплексов. Обломки указанных пород входят в состав туфо- и лавобрекчий. В свою очередь, вулканогенные породы прорываются интрузивными телами щелочных пород триаса (по р. Брянке в устье Колтыгея, по руч. Кундулюнчик) и дайками постлериасового возраста. Кроме того, они имеются в составе галек и валунов юрских и меловых обломочных толщ. По аналогии с другими районами возраст свиты на территории листа считается триасовым.

ЮРСКАЯ СИСТЕМА

Верхний отдел

Хилокская свита ($J_3 - chl$). Эфузивно-осадочные отложения хилокской свиты, выделяемой В. А. Новиковым и Д. Д. Сагалуевым, известны в Тугнуйской депрессии. Нами они установлены в северном борту Тугнуйской депрессии и в районе поселков Мухор-Тала и Дардынкул. В составе свиты наблюдаются переслаивающиеся осадочные и эфузивные породы.

В предгорьях хр. Цаган-Дабан от пади Косуртай на востоке до пос. Нарин на западе. Разрез свиты, прослеженный по обнажениям у с. Кусота, выс. Зала и по руч. Намарзан, следующий (снизу вверх):

1. Конгломераты валунно-галечные, с большим количеством неокатанных глыб, залегающие на неровной поверхности протерозойских гранитов	30—40 м
2. Эфузивы — андезиты, трахиты, липариты и их лаво- и туфобрекчи с линзами перлитов	40—50 „
3. Песчаники с прослоями алевролитов, содержащие остатки (Lamites sp.)	30—40 „
4. Основные эфузивы — андезито-базальты	15—20 „

Эфузивные породы свиты часто переслаиваются между собой по разрезу. Общая мощность свиты здесь достигает 150 м.

Несколько южнее описанного района за рамкой площади листа, установлены две синклинальные складки, поперечные северному борту Тугнуйской депрессии и разделенные Хараузским поднятием. Углы падения крыльев складок достигают 15—25° (Нефедьева, 1961).

В районе ручьев Мухор-Тала, Ташеланка, Мазенкул и Дардынкул развиты только эфузивные породы свиты. Они представлены трахитами (ортопиритами), кератофирами, липаритами, их лавобрекциями и туфобрекциями,

стекловатными лавами и перлитами. В отличие от эффузивных пород свиты, встреченных в Тугнуйской депрессии, в данном районе среди эффузивов преобладают трахиты. Второй особенностью свиты здесь является зональность в расположении пирокластических и чисто эффузивных разностей. Первые располагаются по периферии массивов, что позволяет говорить о наличии в прошлом, наряду с трещинными излияниями, эруптивных аппаратов центрального типа. Севернее поселка Сангон отчетливо виден эруптивный контакт эффузивов свиты по отношению к гранитам малокуналейского интрузивного комплекса триасового возраста.

Мощность эффузивных пород хилокской свиты в этом районе превышает 250 м. Породы залегают на неровной поверхности гранитондов хамар-дабанского и мало-куналейского интрузивных комплексов, слабо дислоцированы и местами разорваны сбросами.

Конгломераты залегают в основании свиты, сложены валунно-гачечным материалом, в состав которого входят породы джидинского и мало-куналейского интрузивных комплексов (анортозиты, граниты, сиенит-порфиры), эффузивы цаган-хунтайской свиты (порфириты, лавобрекции). Размеры галек — от 5 до 15 см, валунов — до 0,5 м. Сортировка материала неизначительная. По составу цемент песчано-гравийный с примесью глины и гидроокислов железа. Конгломераты обнажаются по руч. Кусота и между руч. Шенестуй и Намарзан.

Анdezиты встречены в пределах Тугнуйской депрессии. Это плотные или пористые, серые и темно-серые, мелкозернистые или афанитовые породы. Количество порфировых выделений плагиоклаза (андезин) и биотита незначительно. Некоторые разности имеют пятнистость в виде вишнево-фиолетовых и сиреневых пятен на сером фоне общей массы. По трещинам и в пустотах развиваются цеолит и кварц. Основная масса породы представляет собой слабо раскристаллизованное стекло.

Трахиты (ортопирфиры) являются наиболее распространенной разностью. Это плотные мелкозернистые или афанитовые породы с массивной текстурой. Окраска пород самая различная от белой до темно-серой, кремовая и сиреневая. Порфировые выделения принадлежат калиевым полевым шпатам и биотиту и имеют размер до 3—4 мм. Иногда они представлены водяно-прозрачным санданином. Калиевый полевой шпат вкрапленники слабо пелитизирован и альбитизирован. Биотит дает выделения неправильной формы. Редко присутствует пироксен.

Трахиты (ортопирфиры) в районе Улентуй-Дардынкул содержат во вкрапленниках преимущественно ортоклаз, а также биотит и пироксен.

Кератофирсы пространственно связаны с трахитами и встречаются южнее с. Илька, севернее пос. Мухор-Тала. Это серые с лиловым оттенком плотные афанитовые породы с порфировой структурой. Вкрапленники в них представлены щелочным плагиоклазом и реже калишпатом. Основная масса имеет фельзитовую или трахитовую структуру и иногда содержит обломки различных пород.

Липариты и кварцевые порфиры встречены как в Тугнуйской депрессии, так и в Мухор-Талинском районе. С ними и с раскристаллизованными стеклами связаны перлиты. Цвет их светлый — серый, желтый, кремовый. Строение порфировое с афанитовой основной массой. Пустоты выполнены колломорфным кремнеземом. Порфировые выделения принадлежат кварцу и кислому плагиоклазу (олигоклаз). Основная масса фельзитовая, криптокристаллическая, часто флюидального и слоистого сложения.

Стекловатые лавы и перлиты представляют собой вулканические стекла разной окраски — от светло-серых до зеленых, темно-бурых и смоляно-черных. Они образуют линзы и небольшие покровы (см. гл. «Полезные ископаемые»). Для них характерна слоистая или скорлуповато-концентрическая текстура, раковистый излом.

Лавы и туфобрекции имеют относительно широкое распространение, особенно в Тугнуйской депрессии и Мухор-Талинском районе, где они окружают с севера различные эффузивные породы. Цвета их различны — от белых до черных. Текстура обычно слоистая, иногда массивная. Присутствует

вуют монолитокластические лавобрекции, являющиеся продуктом цементации лавовым материалом верхней растрескавшейся корки потока. На севере Мухор-Талинского месторождения выделяются черные лавобрекции сложного состава, а в районе самого месторождения имеются светло-кремовые слонистые лавы и туфолавы, залегающие в основании перлитоносной зоны. На юге, в Тугнуйской депрессии, туфолавы иногда переходят в туфопесчаники небольшой мощности.

Песчаники имеют очень незначительное распространение и встречены у пос. Шенестуй и Кусота. В них наблюдаются небольшие прослои алевролитов с остатками ископаемой флоры (*Zamites* sp.). Песчаники полимиктовые, от мелкозернистых до гравелитовых. Они содержат значительное количество обломков нижележащих эффузивных пород свиты. Мощность песчаниковой толщи в пределах площади листа не превышает 30—40 м. Здесь песчаники налегают на андезиты и перекрываются андезито-базальтами.

Андезито-базальты в пределах северного борта Тугнуйской депрессии наблюдаются в верхах свиты. Это плотные или пористые породы черного цвета, иногда с буроватым оттенком; они содержат до 60% плагиоклаза (андезин-лабрадор). Мезостазис представлен нераскристаллизованным стеклом бурого цвета. Часто в породе наблюдаются пустоты, иногда выполненные халцедоном, опалом, кварцем или кальцитом.

Возраст Хилокской свиты устанавливается по следующим данным: эффузивные породы свиты образуют покровы на щелочных гранитах мало-куналейского комплекса и образуют из них обломки однородные лавобрекции; в состав конгломератов и лавобрекций входят обломки эффузивных пород цаган-хунтайской свиты; южнее площади листа, в Тугнуйской депрессии, установлено налегание на хилокскую свиту фаунистически охарактеризованных угленосных отложений гусиноозорской серии.

Верхний отдел юрской системы — нижний отдел меловой системы Гусиноозерская серия

Сангинская свита. Отложения ее вскрыты буровыми скважинами и шурфами на месторождении Кузнецовский Увал (севернее г. Петровск-Забайкальский, в долине р. Киха) и были названы исследователями этого участка — нижний безугольный горизонт (Индюков, 1947). Свита сложена в нижней части песчаниками и аргиллитами, в верхней — слабо сцементированными песчаниками. Отложения полностью не перебурены. Поэтому подстилающие породы неизвестны.

Аргиллиты серого и темно-серого цвета образуют четыре пласта мощностью 3,25—8,7 м, резко обособленных от песчаников нижней части разреза.

Песчаники слабо сцементированные или плотные, серые, серо-зеленые с лиловым оттенком, обычно мелкозернистые или среднезернистые (0,1—0,5 мм), с глинистым цементом. В них преобладает кварц-полевошпатовый материал. Сортировка зерен неодинакова, окатанность несовершенна. В породе присутствуют обломки изверженных и метаморфических пород из массивов, окружающих депрессию, и обуглившиеся остатки растений.

Свита полностью не перебурена, ее вскрытая мощность 328 м.

Селенгинская свита ($J_3-Cr_1 s^1$). Отложения этой свиты обнаружены на том же буруогольном месторождении Кузнецовский Увал и выделялись ранее как верхний угленосный горизонт. Свита сложена аргиллитами, слабо сцементированными песчаниками и пластами бурого угля. Аргиллиты преобладают в составе свиты. Цвет их бурый и желтый. Обычно они засорены обломочным материалом. Вблизи угольных пластов аргиллиты переходят в углистые аргиллиты и содержат остатки растений (*Pityophyllum* sp., *Phoenicopsis* sp., *Podozamites* sp.).

Мощность пластов бурого угля (их 6) колеблется от 0,4 до 16 м. Угли в разрезе перемежаются с аргиллитами с слабо сцементированными песчаниками. Мощность последних не превышает 5 м.

Общая мощность свиты 104 м.

Генезис отложений описываемых свит считается аллювиально-озерным, отчасти пролювиальным. Осадочная толща после своего образования в депрессионном прогибе, а возможно и в грабене, была смята в антиклинальную складку с простиранием оси на север-северо-запад при падении крыльев на запад-юго-восток под углами $31-52^{\circ}$ и на восток-северо-восток углами $29-42^{\circ}$. Западные и восточные крылья складки осложнены небольшими мульдами.

По находкам остатков ископаемой флоры возраст отложений депрессий Кузнецовский Увал определяется как юра — нижний мел. А по сопоставлению с опорными разрезами серии (Сагалуев, 1959) возможно выделение двух свит — сангинской и селенгинской.

Нерасчлененные отложения гусиноозерской серии ($J_3-Cr_1 gs$) распространены отдельными участками по долинам рек Брянки, Кижи, Ара-Кижи, их притоков и в районе пади Дардынкул. Они приурочены к тектоническим депрессиям (Бойцовская, Брянская и Кижская-Горхонская) и представлены конгломератами и песчаниками с подчиненными прослоями алевролитов.

В Кижской-Горхонской депрессии (район ст. Горхон) по естественным обнаружениям и данным буровых скважин под кайнозойскими базальтами установлен следующий разрез (сверху вниз):

1. Глины каолиновые светло-серые, окремневые, постепенно переходящие в плотные серые алевролиты с неясными отпечатками растений	1—3 м
2. Конгломераты валунно-галечные с печано-глинистым цементом, прослойками и линзами алевролитов, песчаников и гравелитов	100—150 „
3. Песчаники плотные с песчано-глинистым цементом, серые с прослойками алевролитов	50—70 „
4. Алевролиты трещиноватые, тонкоплитчатые, плотные, серые и зеленовато-серые	30—50 „
5. Песчаники серые плотные с карбонатным и глинистым цементом	15—40 „

Непосредственный контакт между конгломератовой и песчано-алевролитовой пачками не прослежен.

В пределах Бойцовской депрессии взаимоотношение отдельных толщ иное. В основании разреза здесь залегают валунно-галечные конгломераты, переходящие в верхней части пачки (по р. Колтыгей) в глыбовые, мощностью свыше 100 м. Они содержат прослои гравелитов и песчаников и залегают на размытой поверхности различных по возрасту пород. Выше конгломераты переходят в серые грубозернистые тонкоплитчатые песчаники. Переход от конгломератов постепенный, в интервале 2—3 м. Мощность песчаниковой толщи составляет 80—100 м. В устье пади Бойца хорошо видно трангрессивное налегание песчаников на граниты гуджирского интрузивного комплекса. Выходы валунно-галечных конгломератов встречены у с. Новая Брянь, около устьевой части пади Белые Гарты. Значительная их часть слагает тектонический блок, зажатый в гранитном массиве.

Состав гальки и валунов в конгломератах разнообразен и отличен для отдельных депрессий. Цемент конгломератов глинисто-песчаный, до гравийного, иногда глинисто-железистый.

Песчаники в описываемых отложениях преимущественно грубозернистые со слабой окатанностью частиц, кварц-полевошпатовые или полимиктовые. Алевролиты обладают серым и зеленовато-серым цветом, тонкоплитчатым сложением, иногда с эллипсоидальной отдельностью. Цемент их каолиновый, а обломочная часть представлена мелкими зернами кварца.

Различие разрезов отдельных депрессий объясняется особенностями осадконакопления в них. Описываемые отложения палеонтологически не охарактеризованы. Возраст их определяется налеганием на эффузивы цаган-хунтейской свиты и гранитоиды малокуналейского и гуджирского интрузивных комплексов (эти породы входят в состав гальки валунов). В свою очередь они перекрываются базальтами и четвертичными отложениями. Аналогичные

осадочные породы развиты к западу и северу по долине р. Уды, где они по палеонтологическим находкам отнесены к гусиноозерской серии (Ветров, 1959; Малышева, 1960; Налетов, 1961).

ПАЛЕОГЕНОВАЯ СИСТЕМА (?)

Мухейская свита ($Pg? mh$). Породы, относимые к мухейской свите, развиты в Удинской депрессии. Они слагают низменный правый склон долины р. Уды до зоны разломов южного склона хр. Улан-Бургасы. На левобережье имеется только одно обнажение мухейских конгломератов в цоколе террасы (у моста Гортопа). Свита представлена преимущественно крупновалунными и глыбовыми конгломератами с прослойками гравелитов и слабо сцепментированных песчаников, мощность которых не превышает 0,5 м. В состав конгломератов входят главным образом протерозойские граниты, диориты, мигматиты, гнейсы и известняки. Размеры обломков различны (до нескольких метров в поперечнике). Цемент пород песчано-глинистый зеленовато-серый, зеленый за счет присутствия разрушенного амфибола.

Отложения мухейской свиты имеют общую мощность свыше 150 м и залегают с несогласием на конгломератах гусиноозерской серии. Они слабо дислоцированы и на территории листа образуют моноклиналь, полого падающую на север. По линиям омоложенных разломов, окаймляющих Удинскую депрессию с севера, конгломераты раздроблены и милонитизированы с образованием глин.

Палеонтологические остатки в породах свиты не обнаружены. Споропыльцевой анализ цемента конгломератов, развитых ниже по долине р. Уды, показал их палеогеновый возраст (Налетов, 1961) *.

НЕОГЕНОВАЯ СИСТЕМА — НИЖНИЙ ОТДЕЛ ЧЕТВЕРТИЧНОЙ СИСТЕМЫ

Талогайская свита ($N-Q_1 t'$). Пестроцветные отложения представлены глинами, супесями и слабосцепментированными песчаниками, желтыми и красно-бурыми. Они имеют незначительное распространение и небольшими пятнами встречаются на правобережье р. Уды, в пади Белые Гарты (западнее с. Нов. Брянь), в районах падей Мухор-Тала, Дабаты, Намарзан и Мазенкул. Слабо сцепментированные песчаники буро-зеленого цвета в долине р. Уды залегают на конгломератах мухейской свиты. Нижний контакт четкий и извилистый. Мощность песчаников достигает 3 м. Красно-бурые глинистые пески, гравелиты и слабо сцепментированные песчаники в пади Белые Гарты перекрыты четвертичными отложениями. Верхний контакт четкий, волнистый, с морозобойными трещинами, проникающими в песчаную толщу. Мощность описанных отложений достигает 2—3 м, возраст определяется по аналогии с соседними участками, где они палеонтологически охарактеризованы (Налетов, 1961). Желтые и бело-розовые монтмориллонитовые глины являются корой выветривания юрских эффузивов. В пади Мухор-Тала и южнее пос. Илька они перекрываются базальтами или среднечетвертичными отложениями, а книзу постепенно переходят в слоистые эффузивы. Вскрытая мощность достигает 3—4 м. Возраст пестроцветных отложений неоген — нижний антропоген — условен.

Базальты ($\beta N-Q_1$). Молодые основные эффузивы располагаются отдельными участками в пределах тектонических депрессий и ослабленных зон. Наибольшее распространение они имеют в Кижской-Горхонской депрессии (до 30 км^2), в бассейне руч. Мазенкул, Мухор-Тала. Небольшие выходы имеются в верховье руч. Ташеланка, на правобережье р. Уды (у с. Додо-Гол) и южнее

* Отнесение грубообломочных отложений (типа фенгломератов) к мухейской палеогеновой (?) толще вызывает сомнение. По составу и характеру залегания она ближе соответствует ранее выделявшейся в Западном Забайкалье палеонтологически неохарактеризованной сотниковской свите условно верхнемезозойского возраста. — Прим. ред.

пос. Илька. Они образуют покровы, занимающие различное гипсометрическое положение — от приводораздельных участков высотой 1100 м до днищ падей с отметкой 650 м. По структурным и текстурным признакам среди них можно выделить две группы: 1) черные плотные базальты и андезито-базальты; 2) темные с сиреневатым оттенком пористые андезито-базальты с трахитовой структурой. Обе разности представляют фации одного цикла излияния и не-редко многократно перемежаются, хотя могут быть и пространственно разобщены.

Черные базальты и андезито-базальты распространены значительно шире, чем сиреневатые андезито-базальты. Это плотные, массивные породы разной степени кристалличности (от афанитовых до мелкозернистых). Структура их различна — интерсертальная, микродиабазовая или трахитовая. Состав: стекловатый бурый мезостазис (может отсутствовать у кристаллических разностей), плагиоклаз, рудный минерал, редко — пироксен. Плагиоклаз (андезин, лабрадор) образует чистые, удлиненные лейсты до 2 мм в длину.

Андезито-базальты — плотные или пористые темные с сиреневатым оттенком породы. Они характеризуются трахитондной структурой и содержат до 65% плагиоклаза (андезин-лабрадор). Иногда в породе присутствует пироксен. Мезостазис представлен иеракристаллизованным стеклом бурого цвета. Очень часто в породе наблюдаются пустоты, выполненные красно-бурыми окислами железа, халицедоном, опалом, кварцем или кальцитом. Размеры пустот различны и достигают 10 см в поперечнике. Пористые андезито-базальты характерны для краевых частей потоков.

Химический состав базальтов и андезито-базальтов примерно одинаков, в них отмечается повышенное содержание Na_2O (до 6,85%), что характерно для четвертичных базальтов Забайкалья.

Общая мощность базальтовых покровов достигает 100 м. Залегают они на сильно расчлененном рельфе и связанной с его формированием коре выветривания различных по возрасту пород. Их возраст устанавливается условно по аналогии с другими районами Забайкалья, как неоген-нижний антропоген. Базальты несогласно перекрывают различные магматические и осадочные породы до гусиноозерских отложений включительно и перекрываются, в свою очередь, среднечетвертичными аллювиальными и пролювиально-делювиальными отложениями — от среднечетвертичных до современных.

ЧЕТВЕРТИЧНАЯ СИСТЕМА

Отложения четвертичного возраста распространены повсеместно на территории листа, имея наибольшую мощность в долинах рек и в падях (до 100 м). Они представлены различными по генезису отложениями — аллювиальными, озерными, делювиальными, пролювиальными, элювиальными, эоловыми и смешанными типами. Проведенные специальные литолого-фациальные и геоморфологические исследования позволяют говорить о наличии среди них отложений, связанных с деятельностью талых вод многолетних снежников холодных эпох (флювионивальные отложения). Находками костей позвоночных животных палеонтологически охарактеризованы отложения среднего и верхнего отделов.

Современный отдел датируется по находкам остатков верхненеолитической культуры.

Средний и верхний отделы (Q_{2+3})

Отложения этого возраста представлены аллювиальными средне- и тонкозернистыми песками, суглинками (алевритами) высоких террас. Они распространены по долинам рек Уды и Брянки. Мощность их 20—50 м.

В аллювии третьей террасы руч. Шабур были найдены остатки *Rangifer tarandus* и *Bison priscus*, которые на основании определения абсолютного возраста методом прокаливания относятся к верхнему риссю (все определения

абсолютного возраста и палеонтологические определения четвертичной фауны позвоночных произведены чл.-корреспондентом АН УССР И. Г. Пидопличко).

В крупных падях и долинах ручьев широко распространены однородные, редко слоистые суглинки (алевриты). В нижней части они имеют прослои гравия и щебенки. В пади Мухор-Тала в основании этой толщи были найдены кости *Elephas primigenius* и *Rhinoceras antiquitates*, абсолютный возраст которых определен как верхнериссийский. Эти отложения нами связываются с деятельностью талых вод и много летних снежников, развивавшихся в понижениях рельефа в средне- и верхнечетвертичные холодные эпохи.

К неразделенному среднему и верхнему отделам относятся аллювиальные пески древней речной сети, остатки которой развиты в понижениях современных водораздельных участков Шабур-Мойса, Шабур-Шелутай, Мазенкул-Дардинкул и в верховьях ручьев Томахтай, Белая речка, Поперечный и др. Они перекрыты верхнечетвертичными и современными делювиально-пролювиальными осадками.

Верхний отдел (Q_3)

Отдел сложен аллювиальными суглинками, песками первой и второй террас рек и ручьев и флювионивальными суглинками, развитыми повсеместно в падях, где они также образуют одну или две террасы. Мощность аллювия достигает 20—25 м.

Флювионивальные суглинки отличаются хорошей сортированностью материала (80% частиц с размерами от 0,25 до 0,01 мм), обычно однородны и содержат 1 или 2 горизонта погребенных почв. Они очень хорошо развиты и выстилают днища падей от верховья до устья, образуют в них террасы, которые сочленяются с первой и второй террасами рек. В этих отложениях обнаружены многочисленные остатки вюрмской фауны *Elephas primigenius*, *Bos taurus*, *Rhinoceras antiquitates*, *Citellus*, *Cervus canadensis*, *Cervus* sp., *Capreolus* sp., *Equus hemionus*, *Bison priscus*.

Описанные суглинки (алевриты) широко используются в кирпичном производстве. Мощность их достигает 5—10 м.

Верхний и современный отделы (Q_{3+4})

Сюда относятся эоловые пески и делювиально-пролювиальные отложения.

Эоловые отложения представлены дюнными и грядовыми песками хорошей сортировки, мощностью до 10 м. Развиты они по долинам рек на террасах. Песчаные эоловые отложения присутствуют и в верховьях долин, если там имеются более древние песчаные накопления иного генезиса. В составе песков отмечены дистен, силиманит, кордиерит, корунд и ряд других минералов, редко встречающихся в коренных породах района и явно принесенных из других мест.

Делювиально-пролювиальные отложения распространены очень широко. Они состоят из песчано-глинистого материала различной степени сортировки и окатанности, обычно покрывают склоны, днища падей и образуют шлейфы подножий и конуса выноса в их устьях.

Современный отдел (Q_4)

К современным отложениям относятся аллювиальные и озерные галечники, пески, суглинки и илы, торф, делювиальные и пролювиальные суглинки, элювиальные глины и курумники, свободно перевеваемые пески. Мощность их достигает 10 м. В котловинах выдувания найдены остатки культуры верхнего неолита — так называемые дюнные стоянки.

ИНТРУЗИВНЫЕ ОБРАЗОВАНИЯ

В геологическом строении района интрузивные породы играют главенствующую роль, слагая около 75% изученной площади. В большинстве случаев они представлены различными гранитондами, относящимися к нескольким тектономагматическим циклам, имевшим место в протерозое, палеозое и мезозое.

В пределах территории листа М-49-1 на современной стадии изученности выделяются хамар-дабанский, джидинский, малокуналейский, гуджирский и хурай-байбинский интрузивные комплексы.

Протерозойские интрузии

Хамар-дабанский комплекс. Этот комплекс представлен диоритами, диорито-сиенитами, порфировидными, средне- и мелкозернистыми гранитами, пегматитами и жильными образованиями (мелкозернистые граниты и гранит-порфиры). С гранитами данного комплекса связаны мигматиты.

По структурным особенностям среди гранитов выделяются две разновидности: 1) средне- и мелкозернистые, равномернозернистые граниты; 2) граниты с более или менее отчетливо выраженной порфировидной структурой.

В составе хамар-дабанского интрузивного комплекса выделяются две фазы. Породы диоритового состава относятся к первой, а граниты — ко второй фазе.

Диориты и сиенито-диориты (ξδ) являются более древними образованиями, чем граниты. Это установлено во многих местах (по рекам Сутукул, Кундулюн, Халсан; юго-западнее ст. Занграево), где граниты имеют активный контакт по отношению к диоритам и сиенито-диоритам. От гранитов породы диоритового состава отделены, по-видимому, небольшим отрезком времени. В большинстве случаев они располагаются на площади развития гранитов. Кроме того, как в тех, так и в других наблюдаются ксенолиты более древних осадочно-метаморфических пород.

Диориты и сиенито-диориты представляют собой среднезернистые, реже мелкозернистые и порфировидные породы серого и темно-серого цвета, иногда с розоватым оттенком. Структура офитовая, гипидиоморфнозернистая, порфировидная, реже грано- и лепидогранобластовая. Последние возникли, по-видимому, в результате метаморфизма данных пород. Описываемые породы в некоторых случаях приближаются к сиенитам.

Главными минералами этих пород являются плагиоклаз, микроклин и темноцветные минералы (биотит и роговая обманка). Плагиоклаз представлен андезином и реже лабрадором (во вкраплениниках), содержание его колеблется от 50—60% в диоритах до 30—40% в сиенито-диоритах. Количество микроклина также непостоянно и колеблется от 10—20% в диоритах до 20—30% в сиенито-диоритах. Нередко в породах наблюдается процесс замещения плагиоклаза микроклином, что особенно характерно для сиенито-диоритов. Соотношение биотита и роговой обманки варьирует в различных пределах, однако, содержание каждого из этих минералов не превышает 15%. Второстепенные минералы представлены кварцем и для некоторых разновидностей реликтами зерен авгита. Аксессорные минералы — магнетит, сфен, апатит; вторичные — серицит, хлорит, эпидот, альбит (таблицы 1, 2).

Сопоставление результатов анализов показывает, что диориты по химическому составу отличаются от сиенито-диоритов. От нормального бескварцевого диорита эти диориты отличаются пересыщением глиноzemом, меньшим содержанием окиси кальция и магния, резко увеличенным количеством окиси натрия. Сиенито-диориты по химическому составу отличаются как от диоритов, так и от нормальных сиенитов, имея некоторое сходство со щелочными сиенитами. По классификации химических составов изверженных пород А. Н. Заварицкого диориты относятся к 6-му классу насыщенных кремнекислотой пород, группе 21 — богатых щелочами пород; сиенито-диориты — к 4-му классу — насыщенных кремнекислотой, группе 12 — богатых щелочами пород.

Таблица 1

Химический состав диоритов и диорито-сиенитов хамар-дабанского интрузивного комплекса

Оксиды		2	3
SiO ₂	49,63	49,82	59,76
TiO ₂	1,21	1,53	0,61
Al ₂ O ₃	22,30	21,98	19,50
Fe ₂ O ₃	3,15	4,82	1,34
FeO	6,71	5,75	3,64
MnO	0,15	0,13	0,08
MgO	2,44	3,20	1,15
CaO	2,68	3,02	3,31
Na ₂ O	6,35	5,40	7,24
K ₂ O	2,20	2,00	3,17
SO ₃	0,83	—	—
H ₂ O	2,10	1,04	0,44
Сумма	99,75	100,30	100,14

Таблица 2

Числовые характеристики по А. Н. Заварицкому

№ анал.	а	с	в	с	а'	ф'	м'	с'	п	Q
1	17,8	3,1	20,0	58,8	31,6	47,4	21,0	—	81,8	21,4
2	16,1	3,7	21,6	58,6	29,5	45,2	25,3	—	81,9	18,7
3	20,7	2,7	7,8	68,8	—	58,4	24,8	16,8	77,5	6,5

1. Роговообманковый диорит, верховье р. Захотуй.

2. Пироксено-роговообманковый диорит, по руч. Шенестуй.

3. Сиенито-диорит, падь Грязнуха (анализы 1, 2 и 3 проведены аналитиком В. Б. Сливаковским, Киевский гос. университет).

Граниты (γ), взаимодействуя с вмещающими осадочно-метаморфическими породами, несколько меняют минеральный состав и структуры.

Карбонатные породы на контакте с гранитами полностью перекристаллизуются, образуя мелко- и крупнозернистые кристаллические известняки. В этих случаях нередко наблюдаются и процессы скарнообразования. Главными минералами скарнов являются диопсид, гранат, скapolит, эпидот и актинолит.

Порфировидные, среднезернистые граниты и связанные с ними мигматиты пользуются преобладающим распространением среди пород хамар-дабанского интрузивного комплекса. Крупные массивы их располагаются на Худунском хребте и в бассейне рек Мойсы и Балаги. Кроме того, в виде разобщенных небольших массивов они встречаются среди наиболее молодых пород (по левому борту р. Ара-Кижи, по р. Аршан и др. местах). В тесной связи с гранитами находятся мигматиты, которые иногда занимают относительно крупные площади (северные отроги Худунского хребта, по р. Кундулунка и по пади Солдатской). Граниты образуют с мигматитами постепенные переходы, что проявляется в изменениях текстуры от гнейсовидной в миг-

матитах до массивной в гранитах. При переходе к мигматитам увеличивается также количество плагиоклаза и биотита.

Порфировидные и среднезернистые граниты отличаются друг от друга только по структурным признакам. В порфировидных разностях, которые имеют преобладающее значение, вкрапленники составляют до 30—35% породы и имеют размеры до 2×4 см. Будучи разнозернистыми, эти породы легко разрушаются и образуют крупные останцы выветривания.

Текстура пород, как правило, массивная; структура — гипидиоморфно-зернистая и порфировидная. Для мигматитов характерны бластические структуры.

Минеральный состав гранитов (в %): микроклин 30—50 (в порфировых выделениях и в основной массе), кварц 20—30, плагиоклаз (№ 18—28) — 20—40. Темноцветные минералы представлены обычно биотитом (3—8%) и очень редко роговой обманкой. В мигматитах количество плагиоклаза достигает 40—50%, а биотита до 15%. В описываемых породах отмечается процесс замещения плагиоклаза микроклином. Из акцессорных минералов присутствуют апатит, магнетит, сфеен и ортит. Вторичные минералы — серпентит, мусковит, хлорит и эпидот.

Результаты химических анализов и числовые характеристики, по А. Н. Заварицкому, для гранитов и мигматитов данного комплекса приведены в таблицах 3 и 4.

Нетрудно заметить, что химический состав гранитов не отличается постоянством; в свою очередь граниты по химизму отличаются от мигматитов. Эти колебания химических составов, по-видимому, обусловливаются различной степенью дифференциации и гибридизма. Граниты, по отношению к среднему составу щелочно-земельных гранитов, имеют меньшую сумму окисного и закисного железа, меньше окиси кальция и большее содержание суммы щелочей. Эти особенности несколько приближают описываемые граниты к среднему щелочному граниту. В соответствии с классификацией химических составов пород по А. Н. Заварицкому граниты хамар-дабанского интрузивного комплекса относятся ко 2-му классу пересыщенных кремнекислотой пород, к группе 4, богатых щелочами пород.

Мелкозернистые граниты хамар-дабанского интрузивного комплекса являются фациальной разновидностью порфировидных и среднезернистых гранитов, образуя с ними повсеместно постепенные переходы. Они встречаются в виде небольших участков среди порфировидных гранитов севернее ст. Заграево, в междуречье Балгая — Елань, по левому берегу пади Цаган-Кундуй.

Жильная фация гранитоидов хамар-дабанского интрузивного комплекса представлена немногочисленными дайками мелкозернистых гранитов (γ), гранит-порфиров ($\gamma\tau$) и жилами пегматитов (ρ). Пространственно эти породы связаны с порфировидными гранитами описываемого комплекса (западнее ст. Заграево и в районе г. Острой) и не наблюдаются за их пределами.

Пегматиты, связанные с гранитоидами хамар-дабанского интрузивного комплекса, представлены жилами различной мощности и цирковыми выделениями. Они встречаются на небольших участках среди гранитов данного комплекса (в устье р. Эрий, севернее ст. Заграево, в районе месторождения Кварцевая Гора, по р. Каракуль) и в осадочно-метаморфических породах протерозоя вблизи их контакта с гранитами (по левому берегу р. Билюты).

Четкой зональности в строении пегматитовых тел не наблюдается. В зальбандах обычно преобладает полевой шпат, а центральные их части сложены примерно одинаковым количеством полевого шпата и кварца, редко с преобладанием последнего. Мощность жил изменчива и колеблется от нескольких сантиметров до 2 м. Пегматитовые жилы и шлировые выделения состоят из розового микроклина и серого кварца с незначительными скоплениями магнетита, ортита и биотита. Описываемые породы представляют собой пегматиты обычной минерализации и относятся к магнетито-ортитовому подтипу (по классификации А. Е. Ферсмана).

Относительный возраст хамар-дабанского интрузивного комплекса определяется следующим образом: гранитоиды хамар-дабанского интрузивного

Таблица 3

Химический состав гранитов и мигматитов хамар-дабанского интрузивного комплекса

Оксиды	1	2	3	4	5
SiO ₂	70,60	73,00	71,18	68,12	67,18
TiO ₂	0,15	0,17	0,18	0,26	0,34
Al ₂ O ₃	15,30	13,86	14,81	16,66	17,81
Fe ₂ O ₃	0,94	1,51	—	0,66	—
FeO	0,93	0,50	2,42	1,86	2,60
MnO	Сл	0,08	0,04	0,05	0,05
MgO	0,41	0,67	0,24	0,96	1,15
CaO	1,30	0,52	0,70	4,08	1,74
Na ₂ O	2,71	2,63	4,84	4,02	5,90
K ₂ O	7,47	7,07	4,14	2,66	3,53
P ₂ O ₅	0,09	0,07	0,06	0,09	—
SO ₃	0,06	0,07	—	0,09	—
H ₂ O	0,55	0,22	0,37	0,50	0,49
Сумма	100,63	100,37	99,68	100,01	100,78

Таблица 4

Числовые характеристики по А. Н. Заварицкому

№ анализа	а	с	в	с	а'	ф'	м'	с'	п	Q
1	16,7	1,5	2,7	79,1	15,0	60,00	25,0	—	34,7	23,3
2	15,4	0,6	4,1	79,9	32,3	41,9	25,8	—	35,9	28,4
3	16,2	0,8	3,0	80,0	51,0	35,0	14,0	—	63,6	26,8
4	12,9	4,8	4,3	78,0	—	56,5	40,3	3,2	69,2	25,4
5	17,8	2,1	5,7	74,4	23,3	43,0	33,7	—	70,9	11,1

1. Порфировидный гранит, г. Мангазей (аналитик Кодачигова, БГУ)
2. Порфировидный гранит, оз. Тангыр-Болдок (аналитик М. Н. Кодачигова, БГУ).
3. Порфировидный гранит, падь Черемуховая (аналитик В. Б. Спиваковский, КГУ).
4. Магматит, р. Кундулунка (аналитик Н. Г. Красюкова, БГУ).
5. Мигматит, р. Брянка у ст. Заграево (аналитик В. Б. Спиваковский, КГУ).

комплекса прорывают немые осадочно-метаморфические породы биту-джидинской толщи. Эти же гранитоиды прорываются гранитоидами джидинского интрузивного комплекса и более молодыми интрузивными образованиями.

Палеозойские интрузии

Джидинский комплекс. Гранитоиды джидинского комплекса слагают различные по величине и своеобразные по составу массивы. Наиболее крупные из них располагаются в районе г. Маргантай, в междуречье Шелутай — Илька, на южных склонах хр. Цаган-Дабан по ручьям Нарынка и Шенестуй.

Таблица 5

Химический состав лейкократовых гранитов
джидинского интрузивного комплекса

Оксиды	1	2	3
SiO_2	73,80	75,72	74,70
TiO_2	0,19	0,14	0,14
Al_2O_3	13,78	13,00	12,70
Fe_2O_3	1,00	0,97	1,15
FeO	0,43	0,64	0,57
MnO	0,03	0,03	0,08
MgO	0,33	0,89	0,40
CaO	0,04	0,44	0,30
Na_2O	3,40	2,69	3,64
K_2O	5,45	6,24	5,66
P_2O_5	0,02	0,05	0,05
SO_3	0,12	0,04	0,08
H_2O	1,64	0,18	0,59
Сумма	99,83	101,03	99,76

Таблица 6

Числовые характеристики по А. Н. Заварницкому

№ анализа	a	c	б	s	a'	f'	m'	n	Q
1	14,8	0,02	4,4	80,8	42,7	26,9	10,4	48,6	32,0
2	12,2	0,5	3,9	81,4	29,5	34,4	35,1	40,0	33,9
3	15,7	0,3	2,3	81,7	8,6	65,7	28,5	49,6	31,7

1. Лейкократовый гранит, р. Бойца (аналитик М. Н. Кодачигова, БГУ).
2. Лейкократовый гранит, р. Халсан (аналитик М. Н. Кодачигова, БГУ).
3. Лейкократовый гранит, р. Шелутай (аналитик М. Н. Кодачигова, БГУ).

Преобладающее простирание даек северо-восточное (50—75°), протяженность их от 100 м до нескольких километров. Мощности даек обычно небольшие, что особенно характерно для разностей диоритового состава, но иногда достигают 25 м и более.

Дайки описываемого комплекса встречены среди осадочно-метаморфических пород, в гранитоидах хамар-дабанского и джидинского интрузивных комплексов. Однако в лейкократовых гранитах последнего наблюдается неизначительное их количество и почти полное отсутствие даек диоритового состава. Отмечается пересечение даек джидинского комплекса дайками щелочных сиенит-порфиров малокуналейского и гранит-порфиров гуджирского интрузивных комплексов.

Дайки аплитов, мелкозернистых гранитов (γ) и гранит-порфиров (γл) по минералогическому составу одинаковы и отличаются друг от друга только структурными особенностями и количеством биотита. Это светло-серые с розовым и желтоватым оттенком породы, характеризующиеся низким содержанием темноцветных минералов.

Породообразующими минералами описываемых пород являются калишпат (от 30 до 60%), кварц (от 20 до 35%) и плагиоклаз, представленный

Более мелкие массивы встречаются в нижнем течении р. Тешеланки, по руч. Белые Гарты, по рекам Томахтай, Халсан, Поперечинская. По составу породы данного комплекса представлены биотитовыми и лейкократовыми гранитами, гранодиоритами и в меньшей степени граносиенитами. Нередко указанные разновидности пород встречаются в пределах одного массива (в районе г. Маргантай, по ручьям Нарынка и Шенестуй), причем, гранодиориты большей частью окаймляют массивы по периферии. Часто гранодиориты контактируют с диоритами хамар-дабанского интрузивного комплекса, имея по отношению к последним активный контакт (по левому берегу р. Томахтай). Среди массивов гранитов на небольших участках отмечаются постепенные переходы гранитов в граносиениты.

Гранодиориты (γб) имеют буровато-серый и серовато-розовый цвет, не равномерно- и среднезернистое сложение. Для них характерна пятнистость, которую придает наличие полевых шпатов белого и розовато-серого цвета. Структура гипидиоморфозернистая и порфировидная.

Главными минералами гранодиоритов являются плагиоклаз (30—35%), калишпат (15—25%), кварц (15—25%). Биотит и роговая обманка присутствуют в различных соотношениях между собой, не превышая в сумме 12—14%. Плагиоклаз представлен олигоклаз-андезином и реже андезином (№ 45). Часто наблюдается процесс замещения плагиоклаза калишпатом. Из аксессорных минералов встречаются апатит, сфен, циркон, флюорит и рудный минерал. Вторичные изменения выражаются в серицитизации плагиоклаза и хлоритизации темноцветных минералов.

Биотитовые граниты (γ) представляют собой мелко- и среднезернистые массивные породы розового и серовато-розового цвета, состоящие из полевого шпата, кварца и мелких пластинок биотита. Структура гипидиоморфозернистая.

Минеральный состав гранитов (в %): олигоклаз 30—35, калишпат 30—35, кварц — 25—30, биотит — 5—6. Роговая обманка встречается редко. Аксессорные минералы представлены апатитом, сфером, цирконом, апатитом, минералом.

Лейкократовые граниты представляют собой среднезернистые массивные породы темно-розового и серовато-розового цвета. Структура гипидиоморфозернистая.

Главными минералами являются: калишпат (50—60%), альбит-олигоклаз (10—15%), кварц (25—35%). Биотит и роговая обманка в сумме не превышает 2%. Аксессорные минералы представлены сфером, цирконом, апатитом, флюоритом, ортитом и рудным минералом; вторичные — серицитом, хлоритом и альбитом.

В некоторых случаях среди гранитов наблюдаются небольшие участки, сложенные граносиенитами. Они дают постепенные переходы к гранитам. В этом случае в породе уменьшается содержание кварца и увеличивается количество калишпата.

Результаты химических анализов лейкократовых гранитов и числовые характеристики, по А. Н. Заварницкому, приведены в таблицах 5 и 6. Характерной особенностью описываемых гранитов является низкое содержание окиси магния и кальция, их существенно калиевый состав. Лейкократовый облик пород находит отражение также и в небольших содержаниях окисного и зажигающего железа. Сопоставление химизма и числовых характеристик, по А. Н. Заварницкому, лейкократовых гранитов джидинского интрузивного комплекса с нормальным аляскитом и щелочным гранитом показывает, что характеризуемые породы занимают промежуточное положение между ними, ближе примыкая к аляскитам. В соответствии с классификацией химических составов изверженных пород А. Н. Заварницкого лейкократовые граниты относятся ко 2-му классу — пересыщенных кремнекислотой пород, группе 3 — богатых щелочами.

Жильная фация джидинского интрузивного комплекса представлена дайками аплитов, мелкозернистых гранитов, гранит-порфиров, мелкозернистых диоритов и диоритовых порфиритов.

олигоклазом (от 10 до 25%). В мелкозернистых гранитах количество биотита достигает иногда 5%. Аксессорные минералы представлены апатитом, цирконом, сфеном, флюоритом и рудным минералом. Структуры этих пород: гипидиоморфозернистая, аплитовая, микропегматитовая и порфировая.

Мелкозернистые диориты (δ) имеют темно-серую, темно-зеленую, иногда черную окраску, массивную текстуру. Структура призматически-зернистая и офитовая. В состав их входят плагиоклаз-андезин (50—60%), роговая обманка (до 25%) и в небольших количествах биотит, моноклинный пироксен и кварц. Аксессорные минералы представлены рудным минералом, апатитом и сфеном. Вторичные минералы — альбит, серицит, эпидот, актинолит и карбонат.

Диоритовые порфиры ($\delta\mu$) от мелкозернистых диоритов отличаются наличием в мелкозернистой основной массе порфировых вкрапленников плагиоклаза (№ 35—45).

Относительный возраст джидинского интрузивного комплекса определяются следующими данными:

1. Гранодиориты джидинского интрузивного комплекса прорывают породы хамер-дабанского интрузивного комплекса (левый борт р. Тамахтай). Кроме того, в первых имеются ксенолиты осадочно-метаморфических пород протерозоя и диоритов хамар-дабанского интрузивного комплекса.

2. Эффузивные породы цаган-хунтейской свиты перекрывают граниты джидинского интрузивного комплекса. Это установлено по наличию обломков гранитов в туфобрекчиях (район устья р. Ямной и у пос. Мухор-Тала).

Таким образом, диапазон возможного возраста джидинской интрузии определяется от верхнего протерозоя до верхнего палеозоя включительно. Наиболее вероятно, что данная интрузия относится к кaledонскому циклу.

Триасовые интрузии

Мало-куналейский комплекс. На площади листа этот комплекс представлен биотит-рогообманковыми сиенитами, щелочными сиенитами и граносиенитами, щелочными и лейкократовыми гранитами. Они слагают крупные массивы на хр. Цаган-Дабан в бассейне р. Брянки и междуречье Билюты, Баляги и Ара-Кижи. Несколько меньшие массивы располагаются на левобережье р. Кижи, руч. Большой Ижир, в междуречье Ильки и Попереченской, бассейне р. Халсан и др. местах.

Сложный по составу мало-куналейский интрузивный комплекс формировался в несколько стадий. К первой фазе относятся биотит-рогообманковые сиениты и кварцевые сиениты. Ко второй — щелочные граниты, граносиениты и сиениты, лейкократовые граниты и биотит-рогообманковые сиениты. Отнесение части биотит-рогообманковых сиенитов к первой фазе * основано на установлении активного контакта щелочных гранитов по отношению к последним (район г. Аршан). В то же время наблюдаются постепенные переходы от щелочных пород к биотит-рогообманковым сиенитам (по р. Мойсе, руч. Дабаты и др.). В этом случае биотит-рогообманковые сиениты окаймляют массивы щелочных пород. Подобные взаимоотношения внутри мало-куналейского интрузивного комплекса отмечаются и в других районах Забайкалья (Сагалуев, 1960).

Характерными особенностями пород описываемого комплекса являются: сиреневые и пепельно-серые тона окраски; наличие миаролитовых пустот, иногда выполненных мелкими кристаллами темного кварца и щелочных темноцветных минералов; присутствие в большинстве разновидностей щелочных темноцветных минералов (эгрина, арфведсонита и рибекита).

Биотит-рогообманковые сиениты (ξ), относящиеся к первой фазе комплекса, слагают крупные массивы в бассейне р. Халсан, в районе г. Хохорта, междуречье Ильки и Поперечинской на хр. Цаган-Дабан, по руч. Большой Ижир и др. Аналогичные сиениты второй фазы располагаются по периферии

* На геологической карте фазы не показаны.

массивов щелочных пород в бассейне р. Мойса, р. Брянки, в междуречье Брянки и Хурдай и др.

Макроскопически это массивные породы желтовато-серого и розовато-серого цвета, состоящие из крупных зерен полевого шпата и темноцветных минералов, с редкими зернами кварца. Структура гипидиоморфозернистая, реже аллотриоморфозернистая и порфировидная. Состав — калиевый полевой шпат (60—80%), альбит (8—10%), кварц (до 12%), роговая обманка (до 10%) и биотит (2—3%). По содержанию кварца эти породы иногда приближаются к кварцевым сиенитам. Аксессорные минералы представлены сфеном, рудным минералом, цирконом, флюоритом, апатитом и в редких случаях ортитом и рутилом. Вторичные изменения проявлены в альбитизации калиевого полевого шпата и хлоритизации роговой обманки.

В основном данные породы приближаются к щелочным сиенитам и имеют лейкократовый облик.

По химизму биотит-рогообманковые сиениты отличаются от среднего щелочноземельного и даже щелочного сиенита. Эти отличия выражаются в большем содержании кремнекислоты, повышенном содержании щелочей; меньшем количестве суммы окисного и закисного железа, окиси кальция и окиси магния. Отмеченные особенности химизма отражают лейкократовый характер пород и повышенную их щелочность. По классификации А. Н. Заварицкого данные породы относятся к 3-му классу, слабо пересыщенных кремнекислотой, группам Зи 8 — богатых щелочами пород. Химический состав биотит-рогообманковых сиенитов и пересчеты по А. Н. Заварицкому приведены в таблицах 7 и 8.

Таблица 7
Химический состав биотит-рогообманковых сиенитов
мало-куналейского интрузивного комплекса

Оксиды	1	2	3
SiO_2	64,34	64,70	66,10
TiO_2	0,44	0,44	0,32
Al_2O_3	18,41	17,97	16,32
Fe_2O_3	1,91	1,63	1,98
FeO	0,68	0,93	0,75
MnO	сл	0,07	0,08
MgO	0,36	0,65	1,43
CaO	0,93	1,04	1,08
Na_2O	4,91	4,37	4,04
K_2O	7,59	6,84	6,72
P_2O_5	0,09	0,09	0,09
SO_3	0,06	0,29	0,04
H_2O	0,35	0,28	0,74
Сумма	100,07	99,30	99,73

Таблица 8
Числовые характеристики по А. Н. Заварицкому

№ анализа	a	c	b	s	a'	f'	m'	n	Q
1	21,9	1,1	3,4	73,6	16,3	67,4	16,4	49,4	2,3
2	19,4	1,2	5,7	73,7	41,0	39,8	19,2	49,3	7,4
3	18,4	1,4	5,4	74,8	12,5	43,8	43,7	47,8	11,4

- Биотит-роговообманковый сиенит, р. Халсан (аналитик М. Н. Кодачигова, БГУ).
- Биотит-роговообманковый сиенит, р. Халсан (аналитик М. Н. Кодачигова, БГУ).
- Биотит-роговообманковый сиенит, водораздел ручьев Харинский и Дабаты (аналитик Н. Г. Красюкова, БГУ З).

Щелочные сиениты (χ_5) имеют ограниченное распространение в районе. Они образуют относительно крупный массив по левому борту р. Мойсы, а также небольшими пятнами встречаются на площадях развития щелочных гранитов, имея с последними постепенные переходы через граносиениты.

Макроскопически породы обладают розовато-серым и желтовато-серым цветом с сиреневатым оттенком, крупнозернистым или среднезернистым сложением и массивной текстурой. Структура гипидиоморфозернистая, реже аллотриоморфозернистая и порфировидная.

Главным породообразующим минералом данных сиенитов является калишпат (70—85%). Из второстепенных минералов встречаются: кварц (до 10%), альбит (до 5%), эгирий и щелочной амфибол (до 7% в сумме), редкие чешуйки биотита. Аксессорные минералы представлены сфеоном, цирконом, апатитом, рудным минералом и рутилом.

Щелочные граниты (χ_{γ}) слагают крупный массив по р. Брянке и более мелкие тела по р. Аршан, по р. Поперечинской и в верховье р. Ташеланки. Это мелко- и среднезернистые серовато-розовые и желтовато-серые с сиреневым оттенком породы, состоящие в основном из калишпата (60—65%) и кварца (20—30%). В качестве второстепенных минералов присутствуют эгирий и щелочной амфибол (до 7% в сумме), альбит (5—6%); из аксессорных — циркон, флюорит, апатит, рудный минерал. Породы обычно массивные с гипидиоморфозернистой структурой. Они содержат многочисленные миаролитовые пустоты, выполненные щетками кварца и щелочных темноцветных минералов.

Лейкократовые граниты (γ) слагают различные по величине массивы в междуречье Балаги и Ара-Кижи, по левому борту р. Кижи, по руч. Дабаты и в верховье р. Халсан. Характерным для них является сиреневато-розовая и розовато-серая окраска, обусловленная соответствующим цветом входящих в состав породы полевых шпатов и наличием темного, почти черного, кварца; отмечены миаролитовые пустоты.

Макроскопически среди этой группы породы выделяются две разновидности — мелкозернистые массивные граниты и среднезернистые граниты не-равномернозернистого сложения. При этом в некоторых массивах (в междуречье Балаги и Ара-Кижа и по левому борту р. Кижи) наблюдается зональность — центральные части массивов сложены среднезернистыми гранитами, а периферические — мелкозернистыми, иногда доходящими до гранит-порфиров. Под микроскопом эти две группы пород отличаются лишь по структуре и по величине зерен минералов. Для мелкозернистых гранитов характерна микропегматитовая структура, а для среднезернистых — гипидиоморфозернистая и аллотриоморфозернистая.

Главными породообразующими минералами гранитов являются калишпат (55—60%) и кварц (30—40%). Из второстепенных минералов встречаются плагиоклаз (до 10%), щелочные амфиболовы и эгирий (не более 2%), редкие чешуйки биотита. Аксессорные минералы представлены сфеоном, рудным минералом, цирконом, апатитом и редко ортитом. Химический состав лейкократовых гранитов и пересчеты по А. Н. Заварицкому приведены в таблице 9 и 10.

Параметры анализов приближаются по своим значениям к щелочному граниту и частично к аляскиту. Описываемые граниты сближают с последним пересыщение глиномоземом, а также соотношение между окисью калия и натрия. По содержанию общего железа в химической составной части пород и по содержанию окиси магния описываемые граниты приближаются к щелочному граниту. В соответствии с классификацией химического состава, по

А. Н. Заварицкому, лейкократовые граниты относятся ко 2-му классу, пересыщенным кремнекислотой, к группе 3-й, богатых щелочами пород.

Таблица 9

**Химический состав лейкократовых гранитов
мало-куналейского интрузивного комплекса**

Оксиды	1	2	3
SiO_2	76,62	74,64	76,32
TiO_2	0,10	0,10	0,15
Al_2O_3	12,19	13,32	12,24
Fe_2O_3	0,88	0,22	—
FeO	0,61	1,70	1,69
MnO	0,06	0,04	0,11
MgO	0,36	0,10	0,11
CaO	0,44	0,28	0,26
Na_2O	3,37	4,40	3,73
K_2O	4,77	4,62	4,62
P_2O_5	0,01	0,06	0,35
SO_3	0,07	—	—
H_2O	0,28	0,03	0,30
Сумма	99,76	99,31	99,88

Таблица 10

Числовые характеристики по А. Н. Заварицкому

№ анализа	a	c	b	s	a'	f'	m'	n	Q
1	13,7	0,5	2,8	83,0	32,6	48,8	18,6	51,4	38,1
2	15,5	0,3	3,6	80,6	18,0	76,8	5,2	59,2	29,9
3	14,2	0,3	2,6	82,9	30,0	62,5	7,5	55,1	37,1

- Лейкократовый гранит, руч. Дабаты (аналитик Красюкова, БГУ).
- Лейкократовый гранит, р. Зусса (аналитик В. Б. Спиваковский, КГУ).
- Лейкократовый гранит, р. Дун — Осса (аналитик В. Б. Спиваковский, КГУ).

Жильная фауна комплекса представлена дайками сиенит-порфиров ($\xi\pi$), щелочных сиенит-порфиров и гранит-порфиров, иногда приближающихся по составу к сельвасбергитам (χ_5) и горорудитам (χ_{γ}). Подчиненную роль играют пегматиты.

Дайки перечисленных пород развиты как в пределах массивов описанного комплекса, так в значительном удалении от них. Они рассекаются дайками гуджирского (левый борт р. Билуты) и хурай-байбинского (южнее ст. Илька) интрузивных комплексов и встречаются в гальке конгломератов гусиноозерской серии.

Простиранние даек в основном северо-восточное (50—70°), часто близкое к широтному. Мощности их колеблются в пределах от 5 до 30 м и более.

Пегматиты, связанные со щелочными породами, имеют ограниченное распространение (по руч. Сухая Речка, на правом борту пади Братский Куль и др.). Это в основном шлировые выделения и небольшие по мощности (до

0,5 м) жилы. В них хорошо видна зональность. Отмеченные пегматиты состоят исключительно из полевого шпата и кварца с небольшим количеством биотита, флюорита и магнетита, представляя собой пегматиты обычной минерализации.

Породы описываемого комплекса прорывают осадочно-метаморфические образования протерозоя, гранитоиды джидинского интрузивного комплекса и эфузивы цаган-хунтейской свиты. В свою очередь, породы комплекса прорываются дайками гуджирского и хурай-байбинского интрузивного комплексов и находятся в гальке конгломератов гусиноозерской серии. Абсолютный возраст описываемых пород составляет 180 млн. лет. (определение выполнено в лаборатории института геологии АН УССР Е. С. Бурксером). На основании всех перечисленных фактов возраст гранитоидов мало-куналейского интрузивного комплекса определяется как триасовый.

Триасово-нижнеюрские интрузии

Гуджирский комплекс. В пределах листа породы этого комплекса имеют крайне ограниченное распространение. Они образуют небольшие массивы мелкозернистых гранитов (в устьи р. Бойцы и по руч. Олон — Шибирь) и гранит-порфиров (по р. Баляге и у с. Кусота). Относящиеся сюда дайковые образования, представленные гранит-порфирами и, в меньшей степени, мелкозернистыми гранитами, приурочиваются, как правило, к зонам разломов и имеют простирание, соответствующее простиранию последних. Развиты они по рекам Баляге, Поперечинской, Билюте, Ранготе, Большому Ижиру и в др. местах.

По внешнему облику граниты (γ) описываемого комплекса представляют собой розовые, красновато-розовые мелкозернистые породы. В коренных обнажениях они отличаются свежестью, массивностью и крепостью. В них макроскопически различимы розовый полевой шпат и сероватый кварц. Структура гипидноморфозернистая, микролегматитовая и реже аплитовая.

Породообразующими минералами гранитов являются: калишпат (45—60%), кварц (25—30%), плагиоклаз (до 15%). Аксессорные минералы отмечаются в виде редких зернышек сфена, циркона, апатита, ксенолита и рудного. Присутствие темноцветных минералов не характерно, однако, в приконтактовых частях массивов граниты, за счет ассоциации ими вмещающих пород, содержат некоторое количество биотита. Вторичные процессы проявлены в слабой альбитизации калишпата.

Гранит-порфиры (γη) серовато-розовые и желтовато-розовые породы с массивной текстурой. На фоне тонкозернистой основной массы хорошо видны порфировые выделения полевых шпатов и водяно-прозрачного кварца, имеющего округлую и изометричную форму (до 5 мм в поперечнике).

Структура порфировая с гипидноморфозернистой, гранофировой, микролегматитовой и псевдосферолитовой структурами основной массы. Основная масса состоит существенно из калишпата и кварца с небольшим количеством плагиоклаза. Биотит и роговая обманка присутствуют в ограниченном количестве и не превышают 2%. Аксессорные минералы представлены цирконом, сфеном, апатитом, ксенотитом и рудным минералом.

С породами гуджирского интрузивного комплекса связана сеть кварцевых жил и прожилков (по рекам Бойца и Баляга, в районе г. Мызынкул). Кварц в жилах белый, с жирным блеском. Изредка в нем наблюдаются небольшие щетки горного хрустали. С кварцевыми жилами и зонами окварцевания связана флюоритовая и молибденитовая минерализация.

Породы гуджирского интрузивного комплекса имеют характерные отличительные особенности: однообразный минералогический состав, лейкократовый облик, повышенное содержание кремнекислоты, глинозема и щелочей; наличие кварцевых жил, несущих флюоритовое и молибденитовое оруднение.

Гранит-порфиры и кварцевые жилы гуджирского интрузивного комплекса, наряду с более древними образованиями, секут эфузивы цаган-хунтейской свиты и гранитоиды мало-куналейского интрузивного комплекса, включая

их жильные образования. В свою очередь, они рассекаются дайками хурай-байбинского интрузивного комплекса и находятся в гальке конгломератов гусиноозерской серии. На этом основании возраст описываемого комплекса не древнее триаса и не моложе средней юры.

Меловые интрузии

Хурай-байбинский комплекс. Этот комплекс представлен немногочисленными дайками мелкозернистых диоритов, диоритовых порфиритов, сиенито-диоритов и лампрофиров. Среди последних выделяются породы близкие по своему составу к спессартитам и керсанитам.

Дайки перечисленных пород закартированы на хр. Цаган-Дабан и его южных отрогах, в бассейнах рек Илька и Эрия (южные отроги Худунского хребта) и других местах. Все они приурочиваются к зонам разломов северо-восточного простирания. Протяженность даек от нескольких десятков метров до первых километров. Мощности их колеблются в пределах от 0,5 до 15 м.

В описываемом районе установлено, что дайки данного комплекса прорывают все разновидности пород (включая жильные образования) хамардабанского и джидинского комплексов, эфузивы цаган-хунтейской свиты, гранитоиды мало-куналейского комплекса. Установлен и факт пересечения дайки гуджирского комплекса дайкой диоритового порфирита (правый борт р. Поперечинской). В соседних районах эти породы рвут также отложения гусиноозерской серии (Флоренсов, 1960 и др.).

Поэтому возраст дайковых пород описываемого комплекса условно определяется как меловой.

Мелкозернистые диориты (δ) представляют собой темно-серые с зеленоватым оттенком породы массивного сложения. Структура призматической зернистая, олитовая и гипидноморфозернистая. Породообразующими минералами являются плагиоклаз-андезин (№ 35—45), роговая обманка и реже моноклинный пироксен. В подчиненном количестве присутствуют биотит, кварц и калиевый полевой шпат. Аксессорные минералы представлены апатитом, магнетитом и сфеном; вторичные — серцит, хлорит, эпидот и альбит.

Диоритовые порфириты (δη). Минералогический состав их сходен с мелкозернистыми диоритами, а отличие выражается лишь в структуре — в диоритовых порфиритах наблюдается присутствие вкрапленников плагиоклаза.

Иногда в породах наблюдается диабазовая структура основной массы и заметное увеличение основности плагиоклаза. В этом случае они по составу приближаются к диабазовым порфиритам.

Сиенито-диориты (ξδ). Эти породы внешне не отличаются от мелкозернистых диоритов. Отличие их (видно под микроскопом) заключается в повышенном содержании калиевого полевого шпата (до 20%) наряду с плагиоклазом и темноцветными минералами. Кроме роговой обманки, из темноцветных минералов в небольшом количестве присутствует моноклинный пироксен и биотит. Аксессорная минерализация представлена магнетитом, апатитом и сфеном. Из вторичных процессов отмечается альбитизация плагиоклаза и хлоритизация роговой обманки.

Спессартиты — это темно-серые плотные породы с призматической зернистой структурой. От мелкозернистых диоритов отличаются более высоким (до 35—40%) содержанием роговой обманки. Остальная часть породы слагается мелкими призматическими зернами плагиоклаза (№ 35—45). Вторичные процессы в них проявлены в образовании серцинита и альбита по плагиоклазу и хлориту, реже биотита, по роговой обманке.

Среди мелкозернистых диоритов изредка встречаются такие разновидности, которые по составу приближаются к керсанитам. Они состоят из плагиоклаза, биотита и небольшого количества роговой обманки, пироксена и калиевого полевого шпата. Количество биотита в них достигает 25—30%.

На территории листа параллельно с геологосъемочными работами проводились и тематические (Латыш, Слипченко, Цыбульский, 1961). Основной за-

дачей последних являлось выяснение геохимических индикаторов, характерных для развитых здесь интрузивных комплексов.

Массовыми спектральными анализами установлено, что определенные химические элементы содержатся в различном количестве в породах отдельных интрузивных комплексов. Это иллюстрируется таблицей средних содержаний (%) для пород хамар-дабанского, джидинского и мало-куналейского интрузивных комплексов.

Химические элементы	Интрузивные комплексы		
	хамар-дабанский	джидинский	мало-куналейский
Mn	0,041	0,056	0,071
Ba	0,060	0,039	0,020
Sr	0,041	0,025	0,011
Zn	0,0085	0,0104	0,012
Yb	0,0003	0,0003	0,0005
V	0,0005	0,0019	0,0056

Исходя из приведенных данных можно отметить следующие закономерности:

Содержание Mn резко увеличивается от хамар-дабанского к мало-кунальному интрузивному комплексу; поведение Ba и Sr обратное Mn; содержание Y и Yb увеличивается от древних пород к молодым, что особенно характерно для Y.

Поэтому вышеперечисленные элементы могут быть использованы в качестве индикаторов для выделения различных интрузивных комплексов.

Помимо геохимических критериев, для пород названных комплексов были выявлены свойственные им петрографические, петрохимические и минералогические особенности.

Среди акцессорных минералов особое внимание было уделено циркону, который является хорошим коррелирующим минералом. Установлено, что с увеличением возраста пород форма кристаллов циркона усложняется.

Характерно, что биотиты из различных интрузивных комплексов отличаются общей железистостью: хамар-дабанский 27,6%, джидинский 43% и мало-кунальский 46%.

Все перечисленные особенности интрузивных комплексов подтверждаются геологическими данными.

ТЕКТОНИКА

Междуречье Уды и Хилка, к которому относится территория листа, по одним представлениям расположено в пределах Байкальской складчатой зоны, а по другим — входит во внешнюю часть каледонид (Е. В. Павловский и др.).

Относительно послекембрийского этапа тектонического развития территории имеются также два противоположных мнения. Одни (В. А. Обручев и др.) считают основным образование в мезозое и кайнозое горст-грабеновых структур, другие рассматривают современную структуру как результат формирования крупных складок и прогибов с сопряженными дизъюнктивами.

В общем плане геологического строения территории листа отчетливо выделяются три структурных яруса — докембрийский, триасовый и мезозо-кайнозойский. Положение палеозойских интрузивов из-за отсутствия на территории листа стратифицированных толщ палеозоя неясно. В соседних же районах выделены кембрийские геосинклинальные толщи (бассейны рек Джиды, Витима) и, следовательно, палеозойский структурный ярус.

Древние структуры созданы на площади листа байкальским тектоническим циклом. В мезозое происходило усложнение и перестройка тектонического плана.

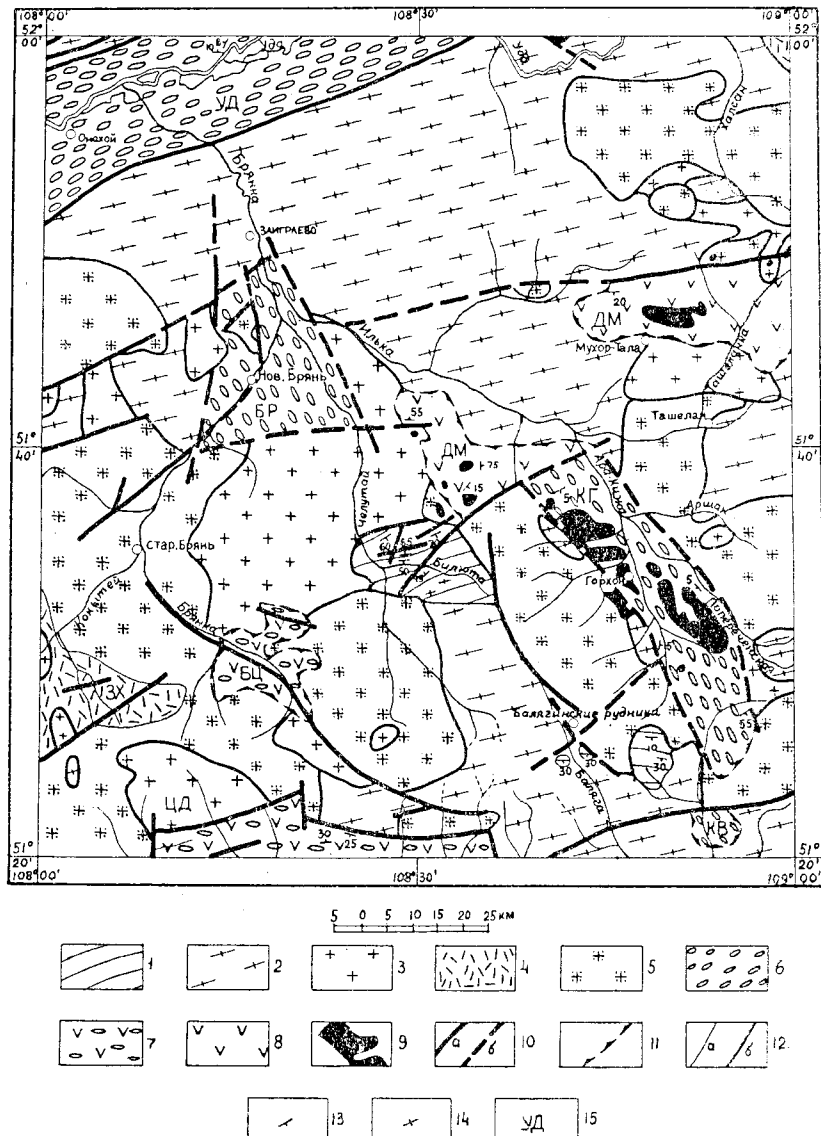


Рис. 1. Тектоническая схема
Докембрийский структурный ярус. Участки выходов: 1 — дислоцированных осадочно-метаморфических пород, 2 — интрузивных пород, 3 — участки выходов интрузивных пород на поверхность
Триасовый структурный ярус. Участки выходов: 4 — эфузивных пород, 5 — интрузивных пород
Мезо-кайнозойский структурный ярус. Участки выходов: 6 — осадочных пород, 7 — эфузивно-осадочных пород, 8 — эфузивных пород мезозоя, 9 — молодых базальтов, 10 — разломы: а) достоверные, б) предполагаемые, 11 — границы депрессий и ослабленных зон, 12 — границы между участками развития пород: а) внутри структурного яруса, б) различных структурных ярусов, 13 — наклонное залегание слоев, 14 — вертикальное залегание слоев.
15 — депрессии и ослабленные зоны: УД — Удинская, БР — Брянская, ЗХ — Захотуйская, ВЦ — Бойцовская, КГ — Кижская-Горхонская, ТГ — Тунгуйская, КВ — Кузнецкая.

Докембрийский структурный ярус

Докембрийские складчатые и интрузивные образования располагаются в хребтах Худунском, Цаган-Дабан и Улан-Бургасы. Последний на площади листа занимает небольшой район по правобережью р. Уды, ограниченный с юга разломами.

При анализе протерозойских структур необходимо иметь в виду значительное усложнение их, вызванное последующими тектоническими движениями.

В настоящее время докембрийские массивы представляют собой сложноблоковые поднятия, окаймленные депрессиями и разломами более молодого возраста. Об их первоначальной структуре можно предположительно судить по строению тех немногочисленных участков, где сохранились основы складчатой протерозойской тектоники.

Дислоцированные толщи метаморфических пород докембия слагают массивы по р. Билюте и в бассейнах рек Баляги и Кижи. На остальной площади эти породы встречаются в виде ксенолитов различных размеров в протерозойских же интрузивных массивах. Они интенсивно смяты и разбиты сбросами.

На основании изучения структур метаморфических пород в северной и западной частях Худунского хребта устанавливается наличие системы складок северо-западного простириания. Расположение наиболее древних магматических пород (диоритов и сенито-диоритов хамар-дабанского комплекса) в центральной части Худунского сложного блока позволяет предположительно говорить о его общем антиклинальном строении.

Складчатые метаморфические толщи на хр. Цаган-Дабан прорваны протерозойскими и более молодыми интрузиями и разбиты молодыми и омоложенными сбросами.

Билютинская структура представляет собой выступ докембийского фундамента в виде тектонического блока. Породы здесь в основном имеют широтное простириание, поставлены на голову и образуют две асимметричные, опрокинутые синклинальные складки, разделенные узкой (1,5 км) антиклиналью. Эта складчатая структура по простирианию на западе примыкает к массиву известняков сложноблокового строения и отделена от него сбросом северо-восточного простириания, заложение которого следует относить к более позднему этапу.

В южной части (реки Баляга, Кундулунка и др.) протерозойские толщи имеют также широтное простириание при более пологих углах падения пластов ($40-50^\circ$) на юг. В районе Балаягинского рудника и Кварцевой горы видно как сложно менялась протерозойская структура под влиянием последующих движений по разломам — отдельные блоки оказываются перевернутыми на $70-90^\circ$ по отношению друг к другу.

В западной части хр. Цаган-Дабан активная мезозойская магматическая деятельность почти полностью уничтожила протерозойские отложения, о структуре которых невозможно получить ясное представление.

Триасовый структурный ярус

Тектонические движения начала мезозоя в условиях стабилизации складчатой зоны на описываемой территории привели к излияниям эфузивов и внедрению щелочных и субщелочных пород мало-куналейского интрузивного комплекса.

На территории листа эфузивные образования наблюдаются в Захотуйской депрессионной зоне и на небольших участках по рекам Баляге, Кизе, Барун-Тарбагатаю и др.

Захотуйская депрессионная зона субширотного простириания с севера, востока и юга ограничена гранитоидами мало-куналейского интрузивного комплекса. Эта структура распространяется на территорию соседней площади к западу листа (Ветров, 1958). В строении зоны принимают участие только эфу-

зивы цаган-хунтейской свиты общей мощностью до 700 м. Данных об условиях залегания пород недостаточно для того, чтобы понять структуру зоны. Смена пород вкрест простириания ее позволяет предполагать о наличии мульдообразной складки с пологим падением крыльев к центру. Зона разбита двумя, почти продольными сбросами.

Появление эфузивов триасового возраста следует объяснять наличием триасовых разломов, в большинстве случаев северо-восточного простириания.

Эфузивы цаган-хунтейской свиты, располагающиеся в краевых частях некоторых депрессий (Кижга-Горхонская, Бойцовская и др.), также связаны с триасовыми разломами. Излияния этих эфузивов происходили до начала формирования депрессий.

Широкое развитие интрузивных щелочных пород мало-куналейского комплекса подтверждает наличие обособленного структурного яруса в триасовое время.

Мезо-кайнозойский структурный ярус

Тектонические движения в посттриасовое время привели к заложению на данной территории новых, уже платформенного типа, структур. Общая ориентировка их, свойственная Забайкалью вообще, северо-восточная (до субширотной) и реже субмеридиональная. Эти движения сформировали депрессии, ограниченные обычно сбросами. Оживленная тектоническая деятельность имела место не только в юрский период, но проявлялась отдельными этапами и гораздо позже — в антропогене. Естественно, что при этом эфузивно-осадочные выполнения депрессий испытывали складчатые деформации. Зоны опусканий чередуются с участками вздыmania, преимущественно блокового характера.

На территории листа возможно выделение следующих мезо-кайнозойских структур (см. рис. 1).

Депрессии и ослабленные зоны: Удинская, Брянская, Бойцовская и Кижга-Горхонская депрессии, Дардынкул-Мухорталинская ослабленная зона, депрессия «Кузнецовский Увал», северо-восточный борт Тугнуйской депрессии.

Блоковые структуры: Худунский, Цаган-Дабанский и Маргантай-Ижирский блоки. Отдельно выделяется Уда-Балаягинское меридиональное поднятие.

Разрывные структуры: Удинская и Ижирская системы сбросов, Мухорталинский, Билютинский, Ранготинский, Балаягинский и Шабурский сбросы, система сбросов южного склона хр. Цаган-Дабан (рис. 2).

Удинская депрессия орографически соответствует долине р. Уды и протягивается в северо-восточном и юго-западном направлениях на прилегающие территории. На участке к востоку от устья руч. Сутукул южная ее граница оттесняется к северу Уда-Балаягинским поднятием. В строении ее принимают участие мезокайнозойские эфузивно-осадочные образования мощностью свыше 200 м. Северный борт ограничен системой сбросов, проходящих как в протерозойских гранитоидах и палеогеновых конгломератах, так и на контакте этих пород. Границы разгнейсированы параллельно линиям нарушений. Южная тектоническая граница скрыта под четвертичными отложениями, но четко «отбивается» по данным геофизики. В четвертичный период имели место поперечные движения, вызывающие сначала опускание южного, потом северного участков днища депрессии (Безруков и др., 1960).

Брянская депрессия находится в районе слияния рек Брянки, Шелутая и Ильки. Здесь развиты мезозойские конгломераты и мощная (свыше 75 м) толща кайнозойских осадков. Система сбросов оконтуривает ее с запада и подходит к ней с востока. Возможно, что она была связана с Удинской депрессией узкими прогибами (район с. Занграево и Опытного поля). Нарушения, захватывающими гусиноозерские конгломераты севернее с. Нов. Брянь, затронуты и среднечетвертичные отложения, что говорит об омоложении дизъюнктивов.

Бойцовская депрессия располагается в верховьях р. Брянки. Она выполнена эфузивно-осадочными отложениями мезозоя. Эти породы слабо дисло-

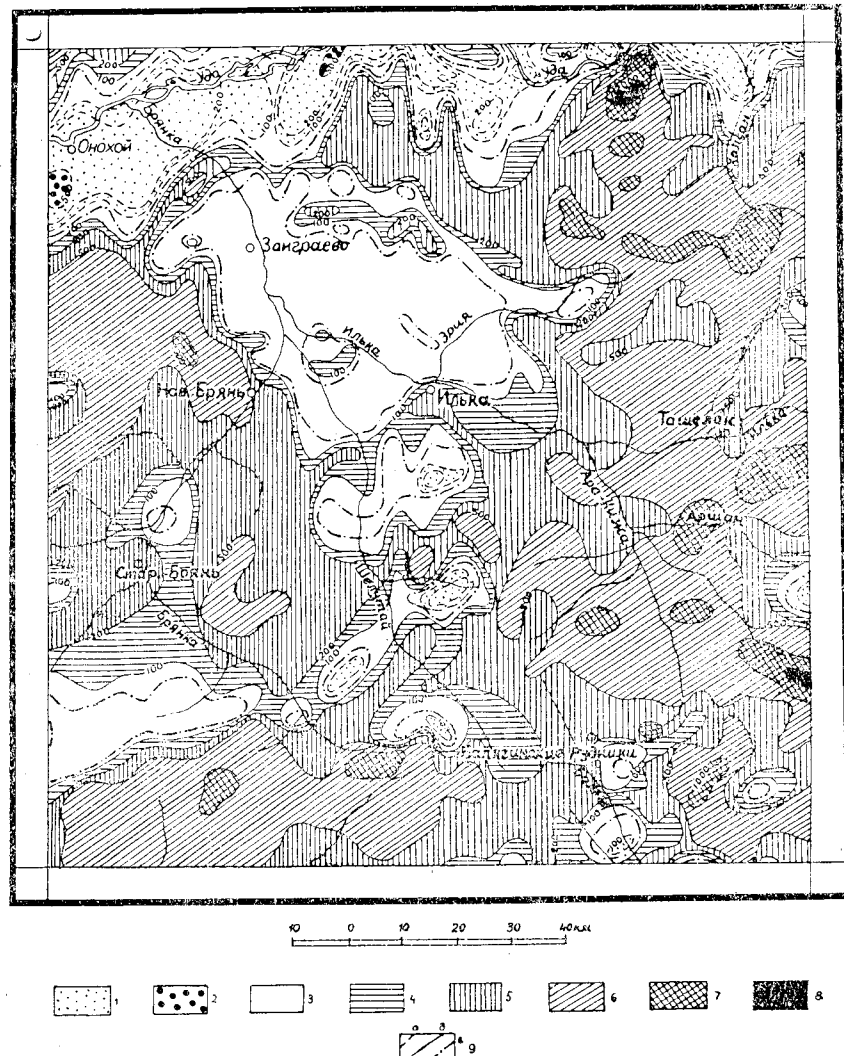


Рис. 2. Схематическая аэромагнитная карта (составили В. В. Суслеников и М. А. Добин)

Напряженности магнитного поля (в гаммах). Отрицательные: 1 — 100—500; 2 — 500; 3 — от —100 до +100. Положительные: 4 — 100—200; 5 — 200—500; 6 — 500—1000; 7 — 1000—2000; 8 — свыше 2000. 9 — изолинии магнитного поля: а) отрицательные, б) положительные, в) нулевые.

цированы, на юге они падают к северу — к центру депрессии ($5-10^\circ$). В устье пади Бойца пласти наклонены к северо-востоку под углами в 10° . В северо-восточном углу депрессии проходит зона сбросов с кварц-флюоритовой минерализацией. Разрывные нарушения, вероятно, пересекают всю депрессию в северо-западном направлении (продолжение Шабурского сброса) по долине р. Брянки. Наличие здесь разрывного нарушения подтверждают геофизические работы (Воронов, 1961).

Дардынкуль-Мухорталинская депрессионная зона выполнена юрскими эфузивами и пирокластическими образованиями. Эти породы сохранились от размыва благодаря опусканию по линиям разломов. Последние окаймляют покровы района Дардынкула с севера и с юга, а Мухорталинскую часть — с севера. Заложение этой структуры следует относить к триасу, так как здесь имеются юрские лавобрекки, выполняющие узкие сбросовые зоны, в массиве Мазенкул и в пади Мухор-Тала. Наряду с трещинными излияниями возможны и аппараты центрального типа. Таким образом, здесь мы имеем не четко выраженную депрессию, а ослабленную зону. Омоложение древних сбросов хорошо фиксируется излияниями базальтов, рассеченных в свою очередь дислокациями.

Кижа-Горхонская депрессия, протягивающаяся от верховьев р. Кижи и бассейна р. Ара-Кижи в долину р. Ильки, является структурой северо-северо-западного простириания. В строении ее принимают участие гусиноозерские отложения и молодые базальты, залегающие на различных по возрасту породах — от протерозоя до триаса. В центральной части депрессии кристаллические породы встречаются на глубине 100 м.

Нижнемеловые отложения и покровы базальтов в этой структуре обнаруживают слабую дислоцированность, имея общий наклон до 10° от бортов к центру депрессии. На юге выступают эфузивы цаган-хунтейской свиты, перекрытые конгломератами. Появление эфузивов здесь следует объяснить наличием триасовых разломов северо-восточного простириания. Молодые сбросы, секущие базальты, отмечаются по западному борту и в центральной части депрессии. Хотя крупных разломов по обоим ее бортам не наблюдается, но многие факторы все же указывают на их существование.

Северо-восточный борт Тугнуйской депрессии, протягивающейся от с. Нарин до пади Косуртай в южных предгорьях хр. Цаган-Дабан, сложен мезо-кайнозойскими эфузивно-осадочными образованиями. Северное окаймление его четко выражено в рельефе уступами по системе сбросов субширотного простириания. Юрские эфузивы и песчаники дислоцированы в систему мелких складок с углами падения до 25° . Хараузским поднятием этот участок депрессии делится на две синклинальные структуры — Олонь-Шибирскую и Шенестуйскую (Нефедьева, 1961). На востоке депрессия ограничена Уда-Балгинским поднятием.

Депрессия Кузнецовский Увал находится севернее г. Петровск-Забайкальский в бассейне р. Кижи. Она выполнена осадками гусиноозерской серии, смятыми в антиклинальную складку субмеридионального простириания, осложненную на крыльях небольшими синклиналями. Глубина этой депрессии по данным бурения свыше 200 м (кристаллический фундамент не достигнут). Данная структура связана своим развитием с Хилокской депрессией (Богданов, 1961). С севера она ограничена крупным разломом.

Блоковые структуры (Худунский, Цаган-Дабанский и Маргантай-Ижирский блоки) представляют собой сложные сооружения, отвечающие в настоящее время областями поднятий.

Худунский блок образован в основном протерозойскими гранитоидами, а также мезозойскими интрузивами в южной и восточной его частях. Разломы формируют в теле блока участки меньших размеров с различными амплитудами вздымания.

Более сложно строение блоковых структур Цаган-Дабана и Маргантай-Ижира, где преобладают палеозойские и мезозойские интрузии. Большую роль в их формировании играли разломы и внедрения магмы, связанные с последними. При этом особое значение приобретают тектонические зоны северо-восточного и северо-западного простирианий.

Уда-Балагинское поднятие меридионального направления представляет собой четко выраженную структуру коробления. Поднятие протягивается от долины р. Уды, где им отодвинута на север южная граница Удинской депрессии, на юг, где оно ограничивает восточный край Тугнуйской депрессии. С этим поднятием связаны эпигенетические участки долин рек Уды и Ильки, в которых протерозойские граниты выходят у самого русла, а террасы деформированы. Им обусловлен разрыв Дардынкул-Мухорталинской зоны, появление блока метаморфических пород докембрия по р. Билюте и, в конечном счете, — формирование Кижса-Горхонской депрессии и Балагинского сброса. Структуры северо-восточного простириания в свою очередь оказывают влияние на характер продольного профиля поднятия. Заложение его следует связывать со срединой мезозоя, когда начала формироваться Кижса-Горхонская впадина. Несомненным является усиление поднятий в антропогене. Эта структура четко выражена на аэромагнитной карте (см. рис. 2).

Разрывные структуры имеют большое развитие и образуют системы сбросов. Наиболее значительными из них являются следующие.

Удинская система сбросов окаймляет борта одноименной депрессии. Наличие северных из них подтверждается непосредственными наблюдениями. Южный сброс фиксируется по данным геофизики. Сопряженные с ним разрывные нарушения отмечаются зоной катаклиза и излияниями базальтов у с. Додо-Гол. Заложение разломов раннемезозойское с периодическим оживлением до верхнего антропогена включительно.

Ижирская система сбросов северо-восточного направления ясно картируется на водоразделе Бол. Ижира и руч. Томахтай. Весьма вероятно их дальнейшее продолжение на Худунский блок.

Мухор-Талинский сброс субширотного простириания проходит по северной окраине одноименной зоны и далее на запад к долине р. Брянки. Он фиксируется покровами базальтов на водоразделе Худунского хребта, зонами дробления и появлением гранитоидов мало-куналейского комплекса в виде небольших трещинных интрузий. Долина руч. Эрия на его продолжении имеет резко увеличенную (до 70 м) мощность четвертичных осадков. Возможно, что Мухор-Талинский сброс сопряжен с ижирскими сбросами. Движения по этому сбросу имели место неоднократно, начиная с триаса, при этом Худунский блок поднимался.

Билютинский сброс представляет собой систему нарушений, отходящих от главного разлома, который разбивает массив метаморфических пород на две части — известняковую и сланцевую. Юго-западное его продолжение предполагается по древней долине, идущей к пос. Шабур. На северо-востоке он перекрывается под наносами Кижса-Горхонской депрессии. Судя по мощности известнякового массива амплитуда смещения здесь очень велика — более 500 м. Весьма возможно, что эта структура лежит в основе Захотуй — Мухор-Талинских депрессий.

Ранготинский сброс проходит по водоразделу Балага и руч. Рангота в северо-восточном направлении. Им ограничен с юга Балагинский массив метаморфических пород и покровы эфузивов цаган-хунтейской свиты. На восточном борту Кижса-Горхонской депрессии на продолжении сброса встречены многочисленные дайки того же простириания.

Балагинский сброс субмеридионального простириания, идущий по долине р. Балага и верховью р. Билюты, отделяет протерозойские массивы хр. Цаган-Дабан от крупного plutона щелочных мезозойских гранитов. С ним связаны зоны милонитизации и рассланцевания в породах левого склона р. Балаги. Первоначальное заложение сброса не моложе триаса, так как к нему приурочены трещинные излияния порфиритов цаган-хунтейской свиты. Последующие движения привели к внедрению даек и гуджирских гранитов.

Система сбросов южного склона хр. Цаган-Дабан отчетливо выражена в рельефе и прослеживается по выходам эфузивов, зонам дробления и окварцевания, приуроченных к нарушениям. Они имеют субширотное простирижение при волнистом характере поверхности сместителей, часто образуют мелкие разрывы, оперяющие главный сброс. Смещения по основным из них вряд ли были очень большими, так как среди опущенного южного крыла высту-

пают массивы докембрийских гранитов, а поверхность пeneплена, разорванного сбросом в бассейнах Балаги и Кизжи, имеет уступ с разницей отметок около 200 м. Начало формирования сбросов следует увязывать с образованием Тугнуйской депрессии. Возобновление движений в этой зоне было неоднократным.

С разрывными структурами, в значительной степени, связываются различные рудопроявления, которые установлены по аномальным содержаниям полезных компонентов при металлометрическом и гидрохимическом опробовании. Такие аномальные участки установлены в районе Ижирской системы сбросов (Ag, Sb), Мухор-Талинского сброса (Mo), системы сбросов южного склона хр. Цаган-Дабан (Mo, Sb). По-видимому, зоны разломов являлись путями для проникновения рудоносных растворов. С некоторыми разрывными структурами связывается и флюоритовая минерализация.

Заслуживает внимания район р. Балаги, находящийся на пересечении структурных единиц — Цаган-Дабанского блока и системы сбросов в южной части его с меридиональным Уда-Балагинским поднятием. Здесь мы имеем рудопроявление молибденита Кварцевая Гора и ореолы рассеяния (Mo, Sb), установленные металлометрическим и гидрохимическим опробованием,

ГЕОМОРФОЛОГИЯ

Рельеф территории листа М-49-1 по общему характеру расчленения и разнообразию геоморфологических элементов отличается значительной сложностью, обусловленной геологическим строением и историей развития данного участка. Здесь преобладает средне- и низкогорный рельеф в сочетании с холмистыми равнинными пространствами тектонических депрессий, имеющих структурно-денудационный и аккумулятивный генезис поверхностей.

По существующим схемам геоморфологического районирования площадь листа относится к Витимо-Селенгинскому району Байкальской горной области (Флоренсов, 1948). В морфогенетическом отношении данная территория характеризуется наличием двух типов рельефа — денудационно-тектонического и аккумулятивно-тектонического.

Денудационно-тектонический рельеф соответствует средне- и низкогорным участкам распространения изверженных и метаморфических пород хребтов Цаган-Дабан, Худунского, их отрогов и отдельных массивов. Абсолютные высоты поверхности колеблются в пределах 700—1431 м. Максимальное расчленение в отдельных местах составляет 500—550 м.

Этот тип рельефа отвечает положительным геологическим структурам, испытывающим с мезозоя тенденцию к поднятию. Эти структуры отделены на значительных участках от районов аккумулятивно-тектонического рельефа омоложенными, обычно четко выраженными в рельефе, тектоническими уступами.

Среди денудационно-тектонических поверхностей выделяются: Горы средневысотные и горы низкие и обособленные низкогорные массивы.

Горы средневысотные по характеру расчленения подразделяются на древние денудационные поверхности и эрозионно-расчлененные горы.

Древние денудационные поверхности развиты в центральных частях хр. Цаган-Дабан и Худунского, а также и крупных отрогах — массивы (Маргантай, Б. Ижир, Мангазей и др.). Они характеризуются наибольшими высотами от 900—1100 м, выровненностью, скальными останцами (до 2—5 м), выпуклостью в поперечном и волнистостью в продольном профиле. Максимальная их ширина достигает 5 км. Относительные превышения обычно составляют 50—100 м. Поверхности выравнивания местами имеют ступенчатый характер и часто заболочены.

Формирование пeneплена по времени относится к верхнему мезозою — кайнозою.

Горы эрозионно-расчлененные являются одним из основных типов рельефа данного района. Их максимальные высоты достигают 1200 м,

при глубине расчленения в 200—350 м. Они имеют многочисленные скальные участки в виде выступов, останцов и гребней, узкие водоразделы, которые нередко совпадают с ориентировкой крупных даек. В продольном профиле гребни имеют волнистый или ступенчатый характер. Долины здесь обладают V-образным поперечным профилем. Верховья имеют вид плоского заболоченного амфитеатра. Наиболее расчленены нижние части гор, где на склонах наряду с распадками и долинами ручьев развита овражно-балочная сеть в делювиально-пролювиальных шлейфах (массив Мангазей, склоны Бол. Ижира, районы падей Мухор-Тала, Поперечной, Белой речки и др.). В местах развития эфузивных покровов мезозойского возраста рельеф несколько уплощается.

В районах развития данного типа рельефа отмечаются эпигенетические участки долин (по рекам Брянке, Балаге и др.) и участки древней речной сети, ныне приподнятые над днищами современных долин на 75—100 м.

Горы низкие связаны постепенными переходами со среднегорным рельефом или же образуют обособленные участки. Этот тип рельефа характерен для окраинных частей хребтов. Высотные отметки для низкогорья не превышают 900 м. Отдельные гребни и массивы создают холмистый рельеф, часто со скальными вершинами и обрывами. Они часто окаймляются делювиально-пролювиальными и аллювиальными отложениями. В последних развиваются слабо ветвящиеся овраги глубиной до 25—30 м, в днищах которых иногда выходят коренные породы. Аккумулятивный чехол имел когда-то большее распространение, что видно по нахождению песков и суглинков на водораздельных участках низкогорья. Это говорит о том, что древний расчлененный рельеф был погребен аллювиальными (озерными?) и пролювиальными отложениями и в настоящую эпоху происходит его «откалывание».

Низкие горы, располагающиеся в юго-восточной части площади листа (междуречье Балаги и Кундулонки) на южном склоне хр. Цаган-Дабан, представляют собой опущенный участок по линии курлного разлома. Поверхность их холмистая с отдельными, более резко очерченными, вершинами. Долины здесь широкие и плоские, с мощными аккумулятивными образованиями, переходящими по р. Балага в шлейф предгорной равнины. Выравненная поверхность этих гор является опущенным пепелем с наложенной мезозойской депрессией Кузнецового Увала. Отсутствие современных поднятий на этом участке характерно для этих долин.

Аккумулятивно-тектонический рельеф соответствует областям тектонических депрессий — Удинской, Тугнайской, Киж-Горхонской, Брянской и Бойцовской. Здесь присутствуют как низкогорные структурные поверхности (Киж-Горхонская депрессия) с отметками от 1000 до 650 м, так и равнинные всхолмленные или террасированные участки с высотами 900—500 м. Среднее превышение отметок не более 100—200 м. Среди этого типа рельефа выделяются: 1) низкогорье холмистое, структурное, 2) равнины холмистые со структурным (бронированным) рельефом, 3) равнины наклонные предгорные, аллювиально-пролювиальные, 4) равнины аллювиальные, террасированные, 5) равнины делювиально-пролювиальные (флювиональные), окаймляющие средние- и низкогорные участки.

Низкогорье холмистое, структурное располагается в пределах Киж-Горхонской и частично Бойцовской депрессий. В Киж-Горхонской депрессии, выполненной осадочно-эфузивными образованиями мезокайнозоя, абсолютные отметки достигают 1000 м, при относительной разнице высот до 200 м. Породы, слагающие эту депрессию, залегают почти горизонтально, поэтому рельеф характеризуется уплощенностью вершин и водоразделов, ступенчатостью склонов за счет различий в литологии. Имеются участки кустового типа. Покровные базальты формируют бронированный рельеф. Долины обычно широкие, с плоскими, террасированными днищами. На границе с изверженными массивами иногда отмечаются остатки древней речной сети. В аккумулятивных отложениях склонов широко развиты овраги.

В Бойцовской депрессии характер рельефа определяется наличием пластов конгломератов и песчаников гусиноозерской серии. Структурность рельефа здесь проявляется также в уплощении приводораздельных пространств и по-

явление структурных и цокольных террас. По левому берегу Брянки и Колтыгей имеются обрывы высотой до 20—30 м.

Равнины холмистые со структурно-бронированным рельефом соответствуют северным бортам Удинской и Тугнайской депрессий и образованы кайнозойскими осадочными или мезо-кайнозойскими осадочно-эфузивными породами. Такой рельеф свойственен и небольшому участку развития гусиноозерских конгломератов по левобережью р. Брянки у с. Нов. Брянка. Северная граница их четко выражена в рельфе приподнятыми по разломам среднегорными массивами. Равнины наклонены к югу. Холмистый характер их поверхностей связан как со сменой пород и условиями залегания покровов базальтов, так и с эрозионным расчленением. Долины широкие, плоские, с пологими склонами. Отдельные выходы интрузивных тел по окраине Тугнайской депрессии среди равнинной поверхности имеют вид островных гор (Хараузское поднятие по р. Кусота).

В Тугнайской депрессии структурная равнина переходит в наклонную предгорную аллювиально-пролювиальную равнину, образованную слившимися конусами выноса временных потоков и расширенными долинами ручьев. Поверхность ее заболочена, но мелиоративными работами частично превращена в пахотные земли. В Удинской депрессии она переходит в аллювиальную равнину.

Равнины аллювиальные, террасированные тектонических депрессий располагаются в Удинской и Брянской структурах, захватывая окраинные участки Худунского поднятия.

Долина р. Уды (в пределах аккумулятивных террас) имеет ширину до 10—12 км. Максимальная высота террас над руслом не превышает 100—110 м. Русло р. Уды извилистое со множеством островов и стариц. Пойма широкая (до 5 км), в значительной части заболоченная, сливающаяся на правобережье с конусами выноса притоков. На верхней пойме имеются небольшие дюны. Террасы верхнего уровня (4 и 3-я, соответственно 100 и 70—50 м) развиты по левому склону долины. Они имеют нечеткие уступы, слабоволнистую поверхность, наклоненную к руслу и расчлененную редкими пологими балками и ложбинами. Только между Опытным полем и Онохаем проходит овраг, рассекающий террасы. На поверхности этих террас находятся небольшие эоловые гряды, ориентированные вдоль по долине. Наиболее четки 1 и 2-я террасы (5 и 12—20 м). Уступы их хорошо выражены и выдержаны (особенно у 2-й). На поверхности террас часто отмечаются эоловые формы в виде гряд и дюн.

Долина р. Брянки в пределах одноименной депрессии является общей и для впадающих в нее рек Шелутай и Ильки. Свою четко сформированную долину р. Брянка образует только на участке прорезания ею Худунского поднятия. Междуречье Брянки — Шелутая — Ильки представляет собой равнину, пересеченную руслами этих рек. Поймы их широкие с большим количеством озер, из которых наиболее значительными являются Глинище, Шелутайское и Карасиное. На поверхности верхней поймы и 1-й террасы широко развиты эоловые формы — дюны и гряды высотой 5—8 м.

Равнины делювиально-пролювиальные (флювионивальные) находятся по периферии горных массивов и представляют собой очень широкие, плоские пади и сливающиеся их смежные устья. Поверхность их рассечена неглубоко врезанными руслами потоков и оврагами и сливается с 1-й и 2-й террасами крупных долин. Выполнены они тонкозернистыми (алевритовыми) однородным или же слоистыми песками смешанного генезиса. Как указывалось в главе «Стратиграфия», часть этих песков является образованиями талых вод многолетних снежников холодных эпох.

История формирования рельефа может быть с известной достоверностью намечена только для мезо-кайнозойского времени. После палеозойских (нам не известных) этапов морфогенеза земная кора на данном участке испытывала дифференцированные движения, следствием чего в триасе имели место разломы и опускания с интенсивным магматизмом (триасовые излияния эфузивов и интрузивная деятельность). За этими событиями следовал этап денудации (были обнажены молодые интрузивные тела) и последующий размыт. Интенсивной эрозионной способствовали дви-

жения по омоложенным или вновь сформированным разломам (средняя юра). В это время имели место эфузивная деятельность и озерные бассейны в Тугнуйской депрессии и излияния центрального типа в районе Мухор-Талы. Значительная расчлененность рельефа сохранилась и во время отложения осадков гусиноозерской серии.

С конца мезозоя до неогена проходило выравнивание рельефа и образование коры выветривания. В неогене, в связи с усилением положительных тектонических движений и оживлением разломов, произошли излияния базальтов и расчленение рельефа эрозионной сетью. Деятельность снежников и затухание поднятий в отдельные отрезки времени обусловили развитие аккумулятивных форм, погребавших расчлененный рельеф. В антропогене поверхность приобрела современный облик.

ПОЛЕЗНЫЕ ИСКОПАЕМЫЕ

Сложное геологическое строение площади листа М-49-І и многообразие слагающих его горных пород обусловили образование определенных видов полезных ископаемых. Территория листа относится к числу сравнительно освоенных и обжитых районов Бурятской АССР. Горно-рудная промышленность здесь развита слабо, однако добыча полезных ископаемых на этой площади имеет свою историю. Большинство известных и разрабатываемых на площади листа месторождений относится к неметаллическим полезным ископаемым. Из рудных же известно лишь Балыгинское железорудное месторождение и несколькоrudопроявлений железа и молибдена.

Карта полезных ископаемых листа М-49-І составлена по материалам кадастрового учета полезных ископаемых, фондовым материалам Бурятского, Читинского геологических управлений и Петровск-Забайкальского металлургического завода, а также по данным Государственной геологической съемки масштаба 1 : 200 000, проведенной в 1959—1967 гг. (Безруков и др. 1960, 1961). Данные о полезных ископаемых площади листа М-49-І учтены на 1 января 1962 г.

ГОРЮЧИЕ ИСКОПАЕМЫЕ

Бурый уголь

Месторождение Кузнецовский Увал (32) приурочено к тектонической депрессии долины р. Кижи и урочища Кузнецовский Увал и располагается в 2 км южнее разъезда Таяшинский.

Площадь распространения угленосной толщи достигает 7,6 км² и представляет собой плато, которое с севера ограничивается хр. Цаган-Дабан, а с востока и запада его отрогами. По литологическому составу здесь выделяют следующие два горизонта:

1. Верхний песчано-аргиллитовый угленосный горизонт мощностью 104 м.
2. Нижний песчано-аргиллитовый безугольный горизонт мощностью 328 м.

Среди осадочных отложений имеется 6 пластов углей мощностью от 2 до 16 м. Суммарная мощность их угля на правом берегу равна 26,18 м (с коэффициентом угленосности 25,1%).

Верхний горизонт угленосной толщи сильно размыт и сохранился лишь местами. Угли часто перемежаются рыхлыми песчаниками и аргиллитами, вследствие чего они имеют большую зольность (от 14,18% до 64,81%, а средняя зольность по 89 пробам составляет 35,56%). Осадочная толща после образования в депрессионном прогибе, а возможно и в грабене, смята в антиклинальную складку. Западные и восточные крылья ее собраны в небольшие мульды.

Запасы, подсчитанные на месторождении, составляют 4 080 000 т (В — 850 000 т; С₁ — 1 250 000 т; С₂ — 1 980 000 т). Месторождение относится к Челябинскому типу угленакопления, угли автохтонно-аллохтонные. Качество углей плохое, площадь угленакопления небольшая, вследствие чего месторождение относится к непромышленным.

МЕТАЛЛИЧЕСКИЕ ИСКОПАЕМЫЕ

Магнетитовые руды

На площади листа известно Балыгинское месторождение и Мойсовское проявление магнетитовых руд.

Балыгинское месторождение (24) расположено на восточном склоне р. Рудничной по левому борту р. Балыги. Генетически оно связано со скарнами, приуроченными к останцам протерозойских кристаллических известняков, контактирующих с протерозойскими гранитоидами. Месторождение представляет собой несколько рудных тел, залегающих между кристаллическими известняками и скарнами. Простирание рудного тела СЗ 342°, падение на СВ под углами от 42° до 74°. Протяженность его около 550 м. Мощность на выходе равна 30—40 м, на глубине она постепенно выклинивается.

В южной части месторождения крупным сбросом, косо секущим рудное тело плоскостью, которая падает по азимуту 250—270° под углом 60—70°, оно смешено вверх. Амплитуда сброса составляет примерно 30 м. Кроме того, наблюдается ряд более мелких нарушений широтного и меридионального простирания с амплитудами от 0,5 до 10 м. Рудное тело разбито на несколько блоков двумя дайками гранит-порфира, имеющими северо-восточное простирание и мощность 5—7 м. Контакты даек с вмещающими породами четкие, углы падения крутые.

Висячим боком рудного тела являются кристаллические известняки белого и серого цвета. В контакте с ним последние меняют свою окраску на бледно-зеленую за счет обогащения серпентином, диопсидом и tremolитом. В южной части месторождения известняки выклиниваются и постепенно сменяются кристаллическими сланцами.

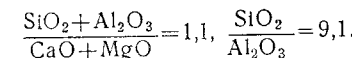
Лежачий бок рудного тела представлен скарновыми породами, состоящими преимущественно из диопсида, скалолита, актинолита и tremolита. В скарнах у контакта с рудным телом наблюдаются вкрашенные магнетитовые руды. Контакт пород лежачего бока с рудным телом резкий, хотя изредка имеют место постепенные переходы скарнов в руду.

Руды представляют собой плотные крупно- и среднезернистые разности, состоящие почти нацело из магнетита. Изредка в них наблюдаются включения пирита, а по трещинкам — налеты малахита.

Среднее содержание металлического железа в рудах месторождения составляет 45%. Все проанализированные пробы укладываются в пределы с содержанием железа от 22 до 62%. При этом 78% всех проб укладывается в интервал с содержанием железа 40—54%. Содержание железа в рудных скарнах составляет от 4,84 до 10,92%.

Из вредных примесей в рудах содержатся сера и фосфор. При этом, сера присутствует повсеместно и не превышает 1%, а в среднем по месторождению составляет 0,18—0,20%. Содержание фосфора в рудах относительно однообразное и колеблется от 0,0 до 0,26%. 80% всех проб руды содержат фосфора меньше 0,06% и только единичные пробы показывают выше 0,08%.

Среднее содержание кремнекислоты для руд месторождения — 14,3% (от 10,5% до 17,0%). Кроме того эти руды характеризуются большим содержанием суммы оснований (CaO+MgO) — от 2,8% до 10,57%. Отношение кислотных и основных компонентов руд вполне благоприятное:



Кроме перечисленных элементов в рудах присутствуют медь — до 0,06%, никель — до 0,005%, кобальт — до 0,012%, титан — до 0,45%, марганец — до 0,6%, редкие земли — до 0,001%, бор — до 0,007%. Пятиокись ванадия составляет в рудах в среднем 0,3% (от 0,05 до 0,55%).

Результаты опробования руд Балыгинского месторождения показывают, что количество вредных примесей (S, P и Zn) не превышает браковочного предела, а количество полевых примесей (Mn, Ti, Cu, Co, V) является хотя

и недостаточным для типичных природно легированных руд, однако заслуживающим внимания.

Запасы, подсчитанные на месторождении, не превышают 3 млн. т, однако по всем данным они являются заниженными. К настоящему времени месторождение частично отработано и в данный момент не разрабатывается.

В результате магнитометрических работ (Ляшенок, 1939) в долине р. Мойсы, в 200 м западнее известкового карьера Мойсовского месторождения известняков под наносами было обнаружено тело железных руд (17). По тем же данным залежь имеет размеры до 80 м в поперечнике. Будучи скрыта под наносами большой мощности (пойма р. Мойсы), она не имеет практического значения.

Молибден

Проявления молибденита отмечены в нескольких точках на площади листа. Находки в зонах скарнирования протерозойских карбонатных пород (район ст. Заиграево) практического интереса не представляют. Более детального изучения заслуживают проявления молибденита, связанные с гидротермальной деятельностью молодых интрузий.

Проявление Кварцевая Горы (28) располагается в 7 км южнее Балагинских Рудников на водораздельном гребне пади Бол. Кварцевой и р. Балаги. Здесь среди гранитов хамар-дабанского интрузивного комплекса залегает крупный кварцевый шток. Последний простирается в меридиональном направлении более чем на 230 м, имея ширину около 90 м.

Рудопроявление представлено вкрапленностью молибденита в кварце. Молибденит находится в виде мелкочешуйчатых выделений и небольших скоплений. Повышенное содержание молибденита обычно приурочено к зонам сильно трещиноватого кварца. Кроме молибденита наблюдаются пирит, халькопирит, мусковит, флюорит и некоторые другие минералы.

Образование кварцевого тела, в общем, связано с метасоматическим замещением полевого шпата кварцем в процессе автометаморфизма ранее существовавшего большого пегматитового штока, который генетически связан с протерозойскими гранитоидами. Рудоносные гидротермальные растворы, связанные с гуджирскими гранитоидами, проникали по мельчайшим трещинам в трещиноватые зоны с образованием молибденита и других минералов. Скопления молибденита именно в кварцевом теле объясняются тем, что кварц был более жестким по сравнению с вмещающими породами и в нем образовалось множество мельчайших трещин — путей проникновения гидротермальных растворов. Грейзенизация проявилась на контакте кварцевого тела с гранитами и в пегматитах. В некоторой степени грейзенизации подверглись вмещающие граниты.

Спектральным анализом установлено, что содержание молибдена в кварце колеблется от тысячных долей до 0,35%. Химические анализы проб дают колебания в содержании от 0,002 до 0,33%. Опробованием установлено, что содержание молибдена в кварце увеличивается с глубиной. Можно предположить, что в более глубоких частях кварцевого тела возможно увеличение содержания его.

НЕМЕТАЛЛИЧЕСКИЕ ИСКОПАЕМЫЕ

Флюорит

Проявления флюоритовой минерализации пространственно тяготеют к зонам разломов мезо-кайнозойского возраста и интенсивной трещиноватости пород.

Проявление флюорита на правом берегу р. Шелутай, в районе г. Мызынкул (15), представляет собой сложную зону окварцевания в гранитах джидинского комплекса. Эта зона состоит из двух пересекающихся полос окварцованных пород мощностью до 5 м каждая. Простирание обеих полос северо-

восточное (80 и 60°). В месте их пересечения мощность всей зоны около 15 м. В строении зон принимают участие кварцевые жилы небольшой мощности, между которыми породы окварцованны. Флюоритовая минерализация наблюдается как в кварцевых жилах, так и в окварцованный породе. Химический анализ проб показал, что даже в участках наибольшего обогащения содержание флюорита не превышает 2%.

Проявление флюорита на левом склоне долины руч. Поперечного (12), приурочено к зоне окварцевания в среднезернистых субщелочных сиенитах мало-куналейского комплекса. Мощность зоны не превышает 5 м, прослежена она на 100 м в северо-восточном направлении (55°). Содержание флюорита незначительное, что подтверждено химическими анализами.

Проявление флюоритовой минерализации на левом склоне долины руч. Бойца, вблизи устья пади Прямой (19), также представлено зоной окварцевания. Последняя проходит в северо-западном направлении (300—305°) в эфузивных породах цаган-хунтейской свиты. Прослежена она на протяжении около 600 м. Максимальная мощность зоны окварцевания около 20 м, наиболее сильное изменение эфузивных пород и присутствие кварцевых жил характерно для центральной части зоны и наблюдается в полосе от 1 до 6 м. Мощность кварцевых жил не превышает 10 см. Флюорит встречается спорадически, образуя небольшие скопления фиолетовых зерен по трещинкам и реже в массе сливного кварца. Опробование показало незначительное содержание флюорита.

Кварц

В 7 км южнее Балагинских Рудников на водораздельном гребне пади Бол. Кварцевой и р. Балаги располагается месторождение Кварцевая Гора (27). Оно представляет собой крупный кварцевый шток среди гранитов хамар-дабанского интрузивного комплекса. Кварцевое тело простирается в меридиональном направлении более чем на 230 м, при ширине около 90 м. Восточный контакт его имеет падение, близкое к вертикальному, а западный контакт падает на запад под углом 30—45°. Контакт кварца с гранитами неровный, угловатый, с нередкими оторочками слюдистых минералов. Формирование кварцевого тела, по-видимому, было связано с метасоматическим замещением полевого шпата кварцем в большом протерозойском пегматитовом штоке в результате автометаморфизма. На месторождении подсчитаны запасы кварца, которые по всем категориям составляют 526000 т (Стельмахович, 1956). Месторождение служит основным источником сырья для получения динаса Петровск-Забайкальским металлургическим заводом.

СТРОИТЕЛЬНЫЕ МАТЕРИАЛЫ

Количество месторождений и запасы строительного камня в районе практически неисчерпаемы. Местным населением используются различные изверженные горные породы: граниты, сиениты, базальты, сиенит-порфиры, гранит-порфиры и многие другие.

Сиенит

Из всех месторождений строительных камней разведано лишь Ново-Брянское месторождение сиенитов (9), расположено в 1,5 километрах к северо-западу от д. Новая Брянь. Это отдельная сопка (г. Каменная) с крутыми склонами. Площадь, занимаемая сопкой, около 70 га, относительное превышение около 130 м. Месторождение образовано кварцевыми сиенитами мало-куналейского комплекса, рассеченные дайками мелкозернистых диоритов, сиенит-порфиров и аплитов. Разведанные запасы строительного камня на месторождении по категориям составляют: A₂ 1920 тыс. м³, B 4840 тыс. м³; C₁ 10050 тыс. м³. Общие балансовые запасы — 16810 тыс. м³ (Плотникова, 1957).

Перлит

В пределах территории располагается Мухор-Талинское месторождение, а также разведывающиеся проявления перлитов в районе руч. Кусота, Шенестуй и Дабаты.

Мухор-Талинское месторождение (11) расположено в 14 км к северо-востоку от станции Нов. Илька. Всего здесь выявлено семь перлитовых тел. Геологическое строение месторождения можно охарактеризовать на примере Мухор-Талинского участка. Тело перлита представляет собой покровную залежь линзообразной формы длиной 650 м, шириной 150 м и мощностью 31 м. Простирание залежи север-северо-запад 340—350°. Контакты перлитов с подстилающими раскристаллизованными стеклами постепенные и неровные. В вертикальном разрезе эфузивные породы имеют следующее строение (снизу вверх): липариты, раскристаллизованные стекла и перлиты.

На современную форму эфузивного тела оказали влияние денудационные процессы, в результате которых от мощного вулканического покрова остались отдельные участки, приуроченные к наиболее сохранившимся возвышенным частям рельефа.

По химическому составу перлиты месторождения представляют собой водосодержащие кислые вулканические стекла. Содержание воды, удаляемой при 100—120°С (гигроскопической), сравнительно невелико 0,5—1,4%.

Лабораторные и полузаводские испытания перлитов показали, что перлитовая порода месторождения Мухор-Тала может служить самостоятельным сырьем не только для получения вспученного легковесного щебня-заполнителя, но и для производства вспученного перлитового песка с объемным весом 180—250 кг/м³. Такого рода вспученный перлитовый песок является ценным техническим продуктом для получения теплоизоляционных плит и различных легковесных изделий.

На месторождении подсчитаны запасы, которые составляют 1391000 м³ (по категориям A₂+B+C₁). Из них 60% заполнителя в легкие бетоны и 40% — термоизоляционного заполнителя.

В южной части территории листа, на сочленении поднятия Цаган-Дабан и Тугнайской депрессии, в 1959 г. авторами обнаружены два участка проявления перлитов — Кусотинский (22) и Дабатский (29). Работами Нерудной экспедиции БГУ в 1960—1961 гг. был выявлен Шенестуйский участок (21). На этом участке перлитовые тела представлены линзами, залегающими среди туфолов и туфобрекций.

Проведенные полузаводские испытания перлитов показали возможность получения из них перлитового песка с объемным весом 410—420 кг/м³, идущего для получения искусственной пемзы и легких заполнителей бетона. Разведка указанных перлитопроявлений в настоящее время не закончена.

Доломит

На площади листа М-49-1 известно Тарабукинское месторождение доломита (3), расположенное в 5,5 км к северо-востоку от с. Заиграево. Здесь крупная залежь доломита слагает водораздел падей Тарабукин — Черемуховская. Мощность залежи 80—100 м, простиранье ССВ, падение западное под 25—30°.

Химический анализ доломита показал содержание: CaO 30,16%, MgO 20,1%, Fe₂O₃ 0,16%, SiO₂ 0,16—0,9%, P₂O₅ 0,02%. Месторождение разведывалось в 1949—1950 гг. Промышленные запасы по всем категориям определены в 5,531 тыс. т.

Известняки

Месторождение Татарский ключ (14) расположено в 20 км южнее ст. Челутай. Известняки слагают возвышенность в 70 м над ложем долины ключа Татарского и в плане представляют тело овальной формы размером 300×

×254 м с крутым падением контактов внутрь ксенолита. На глубину известняки прослежены бурением до 190 м.

По качеству кристаллические известняки месторождения могут использоваться в химической промышленности и как флюс в металлургии. Кристаллические известняки прорваны несколькими дайками сиенит-порфиров и мелкозернистых диоритов.

Разведанные и утвержденные балансовые запасы составляют 17440 тыс. т. Месторождение подготовлено к эксплуатации открытым способом.

Мойсовское месторождение флюсовых известняков (18) расположено на правом берегу р. Мойсы вблизи впадения в нее р. Билюты, в 4,5 км к юго-востоку от главной усадьбы Челутайского леспромхоза. Месторождение представлено кристаллическими известняками. Северная и западная части месторождения перекрыты аллювием рек Билюты и Мойсы.

Известняки рассекаются дайками сиенит-порфиров и диоритовых порфиритов, имеющих северо-восточное простиранье, мощность от 2 до 25 м. Скарнирование отмечается очень редко. В северо-западной части ксенолита отмечаются маломощные (до 10 см) кварцевые жилы с пиритом и халькопиритом.

Тело известняка разбито многочисленными трещинами различных направлений и часто имеет блоковое строение.

На месторождении выделено две разновидности известняков — белые и темно-серые. Лучшими качествами обладают первые. Они имеют следующую качественную характеристику: CaO 54—55%; MgO 0,44—0,85%; R₂O₃+SiO₂ 1—2%; SiO₂ 0,60—1,10%; (1 сорт — по ГОСТу — класс А и Б); п.п.п. 40—43%; P₂O₅ 0,004—0,015; SO₃ 0,01—0,10.

Утвержденные запасы флюсовых известняков: кат. В+С₁ 1930 тыс. м³ или 5114 тыс. т. Месторождение эксплуатируется.

Билютинское месторождение (16) кристаллических известняков расположено на правом берегу р. Билюты у ее устья, в 3,5 км к юго-востоку от главной усадьбы Челутаевского леспромхоза. Оно представляет собой крупный ксенолит в массиве гранитоидов джидинского комплекса, который слагает водораздельную гряду между р. Билютой и падью Березовой. Вдоль этой гряды известняки прослеживаются на 3 км при ширине полосы около 1,5 км. Они образуют узкую и сжатую антиклинальную складку субширотного простирания, крылья которой осложнены более мелкими складками.

Массив известняков прорван дайками сиенит-порфиров, диоритовых порфиритов, мелкозернистых диоритов. Степень воздействия их на известняки незначительная. Наиболее интенсивно скарнирование проявилось в юго-восточной части массива, где развиты пироксеновые и везувиановые скарны.

Кристаллические известняки тонко- и мелкозернистые, обладают грубоплитчатой отдельностью и имеют белую до темно-серой окраску. Среди них встречаются брекчированные и ороговиковые участки. Анализы кристаллических известняков дали следующие результаты (в %): SiO₂ 1,13; Al₂O₃ 0,16; Fe₂O₃ 0,23; CaO 55,17; MgO 0,41; SO₃ 0,0018. Силикатный модуль 2,24, глиноземный модуль 0,74. Запасы на месторождении подсчитывались для химически чистых известняков и известников, которые могут использоваться в цементной промышленности. Для первых они составляют 49121 тыс. т. (по кат. A₂+B+C₁), для вторых 123140 тыс. т (по кат. A+B+C₁).

Сутукульское месторождение кристаллических известняков (5) расположено на правом берегу р. Сутукуль, в 11,5 км юго-восточнее с. Старая Кура. Здесь известняки слагают ксенолит, залегающий среди гранитов хамар-дабанского комплекса. Размеры ксенолита по данным горных выработок составляют примерно 150×70 м. На глубину тело не разведано. Простирание известняков северо-западное 285° с падением на юго-запад под углом 30°. На контакте с вмещающими породами отмечается наличие маломощных (до 0,5 м) скарновых зон.

Анализы известняков дали следующие результаты (в %): CaO 54,40, MgO 0,67, SiO₂ 1,25, Al₂O₃ 0,21, SO₃ 0,013. Месторождение хотя и не разведывалось, однако заслуживает внимания.

На площади листа имеется еще значительное количество месторождений известняков, которые также не разведывались: Кундулюнское (31), Грязнухинское (30), Томахтайское (7) и др. Часть из этих месторождений используется местными организациями для производства извести.

Глины и кирпичные суглинки

Алентуйское месторождение глин (20). Месторождение приурочено к древней озерной впадине и находится в 11 км северо-восточнее Билютинского месторождения известняков. Месторождение сложено жирными, коричневых тонов глинами, имеющими незначительные примеси дресвы. Запасы глин определяются в 5—6 млн. т; не утверждены.

В пределах исследованной площади имеется несколько небольших месторождений суглинков, которые используются для производства кирпича (ст. Брянь, Кундулюнка, Балагинские рудники и др.). Все эти месторождения не разведывались и их запасы не подсчитывались.

Из краткого описания месторождений и проявлений полезных ископаемых можно сделать вывод, что перспективы для дальнейших поисков имеются в отношении некоторых из них. В районе установлены проявления и месторождения железа скарнового типа, связанные с верхнепротерозойскими метаморфическими толщами. Известно, что подобные месторождения в общем балансе железорудных месторождений составляют небольшой процент. Однако среди этого типа встречаются месторождения, имеющие важное промышленное значение. Это прежде всего относится к месторождениям, в которых рудные тела располагаются между скарнами и породами, подвергающимися скарнированию. Именно к такому типу относится Балагинское месторождение. На этом месторождении разведка проводилась неоднократно и, тем не менее, данные о его запасах вызывают сомнение. На месторождении было пробурено всего пять скважин, из них четыре не вышли из рудного тела и лишь одна на глубине 115 м показала его выклинивание. На этом основании был сделан вывод о выклинивании рудного тела вообще.

Исходя из общегеологических данных и учитывая скарновый тип месторождения, где рудные тела могут иметь самые причудливые формы, следует заключить, что месторождение заслуживает внимания и необходимо провести его доразведку. Перспективы в отношении месторождений железных руд обуславливаются общим характером рудоносности района и Забайкалья в целом, а также развитыми на площади листа породами, характер которых не исключает возможности новых находок руд типа Балагинских. Проявления молибдена относятся к двум генетическим типам — скарновым и гидротермальным. Первые связываются с верхнепротерозойскими гранитами хамардабанского комплекса, а вторые с молодыми гранитами гуджирского комплекса. Наибольший интерес представляет оруденение второго типа.

При рассмотрении карты полезных ископаемых территории листа М-49-1 нетрудно убедиться в том, что в отношении молибденоносности перспективной является юго-восточная часть района. Здесь мы имеем аномальные содержания молибдена в металлометрических, гидрохимических пробах и шлихах. В этом же районе находится и рудопроявление Кварцевая Гора.

На территории листа имеются еще участки, на которых молибден дает повышенные концентрации в гидрохимических пробах (по ручьям Аршан, Зун-Осса и Белые Гары).

Кроме железа и молибдена среди рудных полезных ископаемых заслуживают внимания участки с повышенным содержанием серебра и сурьмы, выявленные гидрохимическим опробованием. Это аномалии серебра по рекам Аршан, Зун-Осса и Бол. Ижир и аномалии сурьмы — в верховье р. Тугнуй, по рекам Кусота и Бол. Ижир.

Все эти аномалии следуют, очевидно, связывать с выносом полезных компонентов водами из более глубоких структурных этажей.

Неметаллические полезные ископаемые в пределах района имеют больший удельный вес, чем металлические. Значительное количество месторождений кристаллических известняков приурочено к остаткам древних осадочно-метаморфических толщ. По своим технологическим и химическим особенностям кристаллические известняки в большинстве случаев представляют собой ценное сырье для химической и металлургической промышленности. Не исключена возможность нахождения новых месторождений этого вида сырья.

Значительный интерес представляют имеющиеся на площади листа месторождения и проявления перлитов, связанные с мезозойской вулканической деятельностью. Этот вид полезного ископаемого является ценным сырьем для развивающейся промышленности строительных материалов. Значительное распространение на данной территории мезозойских эфузивов указывает на возможность выявления новых перлитовых месторождений.

В отношении строительных камней описываемая территория обладает практически неисчерпаемыми запасами.

На основании сказанного, на площади листа М-49-1 рекомендуются поисково-съемочные работы масштаба 1 : 50 000 с целью выявления полезных ископаемых, дальнейшего изучения структур и металлогенеза района. В первую очередь эти работы следует провести в юго-восточной части района (листы М-49-14-В и М-49-14-Г).

Результаты геофизических работ

На территории листа были выполнены геофизические работы, проведенные различными методами, главным образом магнитометрическими.

Наземные магнитометрические работы (Ляшенок, 1941) ставили своей задачей проверку магнитных аномалий и участков, наиболее перспективных в железорудном отношении. Эти работы носили поисково-разведочный характер и для корреляции геологических данных интереса не представляют (рис. 2).

Наиболее полной обобщающей работой для территории листа является аэромагнитная съемка масштаба 1 : 200 000 (Суслеников и Добин).

При анализе аэромагнитной карты некоторые депрессионные и ослабленные зоны отчетливо фиксируются по отрицательным значениям напряженности магнитного поля. Повышенные значения последнего связаны с определенными типами пород.

В первую очередь следует отметить отрицательную аномалию (ΔT_a) в северо-западной части территории листа, по долине р. Уды. Она проявляется довольно широкой полосой отрицательных напряженностей магнитного поля, достигающих 400—500 гамм. Отмеченные отрицательные напряженности, по-видимому, отражают грабенообразный характер долины р. Уды, которая выполнена конгломератами и песчаниками мезо-кайнозоя и четвертичными отложениями.

Несколько южнее, в месте слияния рек Ильки и Брянки, в магнитном поле наблюдается аномальная зона, почти изометричной формы. Она также характеризуется отрицательными значениями ΔT_a , варьирующими в пределах от 0 до —100 гамм. Эта аномальная зона фиксирует, по-видимому, Брянскую депрессию и располагающиеся в непосредственной близости от нее гранитоиды хамардабанского комплекса.

Вполне удовлетворительно пониженными значениями напряженности магнитного поля фиксируется Захотуй-Бойцовская депрессионная зона, однако ее восточная часть (собственно Бойцовская депрессия) не может быть оконтурена по данным аэромагниторазведки.

Небольшая аномалия отрицательных значений напряженности магнитного поля по р. Билюте довольно четко оконтуривает район распространения древних осадочно-метаморфических пород. Аналогичные породы, развитые по р. Балаге, также фиксируются значениями напряженности магнитного поля, близкими к нулевым.

Полоса положительных значений напряженности магнитного поля полностью соответствует поднятию меридионального направления, протягивающемуся от замыкания Тугнуйской депрессии на юге к долине р. Уды на севере.

Необходимо также отметить, что участки с высокими напряженностями магнитного поля в большинстве случаев соответствуют полям распространения пород диоритового состава хамар-дабанского интрузивного комплекса, а также кайнозойских базальтов.

На описываемой аэромагнитной карте не нашли отражения Кижга-Горхонская депрессия и северный борт Тугнуйской депрессии. В первом случае это может объясняться компенсирующим влиянием кайнозойских базальтов. Не вызывает сомнения, что контуры некоторых аномалий на карте смешены. Так, небольшая аномальная зона близких к нулевым значений магнитного поля смешена на север от действительно существующей депрессии — Кузнецковский Увал.

Балягинское месторождение магнетитовых руд, известное более 150 лет, не нашло отражения на описываемой карте, что дает основание до некоторой степени критически отнести к результатам аэромагнитной съемки.

В объяснительной записке к карте аэромагнитной съемки масштаба 1 : 500 000 (Гарифуллин и др., 1958) приводятся данные о характере аномальных зон и значениях магнитного поля над различными породами района. Они в большинстве своем совпадают с данными вышеописанных работ.

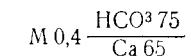
Обобщая данные аэромагнитной съемки по району, можно указать на то, что породы, отличающиеся друг от друга по составу, вызывают магнитные аномалии различных напряженностей.

Областям распространения протерозойских осадочно-метаморфических пород соответствуют спокойные отрицательные магнитные поля с напряженностью порядка 0—200 гамм. Близкими к нулевым значениям напряженности обладают магнитные поля над гранитами хамар-дабанского интрузивного комплекса (-200 до +500 гамм) и над эфузивными породами цаган-хунтейской свиты (-100 до +500 гамм). Положительными магнитными полями характеризуются области распространения гранитоидов джидинского интрузивного комплекса (около +500 гамм), щелочных гранитоидов мало-куналейского интрузивного комплекса (+200—+500 гамм), юрских эфузивных пород (+200—+500 гамм) и площади распространения осадочных отложений гусиноозерской серии (0—+500 гамм). Наиболее крупные положительные аномалии магнитного поля (до +2000 гамм и более) отвечают участкам развития диоритов хамар-дабанского комплекса и, в меньшей мере, кайнозойским базальтам.

ПОДЗЕМНЫЕ ВОДЫ

Специальных съемочных гидрогеологических работ на территории листа не проводилось. Характер подземных вод, развитых на территории листа, помимо климата, определяется условиями их питания, трещиноватостью, литологией водовмещающих и кроющих толщ, наличием многолетней мерзлоты. Среди подземных вод выделяются пластово-поровые, пластово-трещинные, трещинные и трещинно-жильные воды зон разломов.

Пластово-поровые воды содержатся в четвертичных и неогеновых осадках и приурочены главным образом к аллювиальным и делювиально-пролювиальным отложениям. Они являются наиболее важным источником водоснабжения и могут образовывать несколько горизонтов мощностью до 10—30 м. В долине р. Ильки у ст. Нов. Илька мощность аллювиального водоносного горизонта, вскрытого скважинами, составляет 2—6 м. В долине р. Брянки у с. Нов. Брянь два водоносных горизонта имеют дебит по 1,5 л/сек. По химизму воды этого типа являются гидрокарбонатно-кальциевыми, иногда с небольшой натриево-хлоридной и магниево-сульфатной минерализацией. Общая минерализация обычно составляет 250—350 мг/л при общей жесткости 2,7—3,0 мг·экв. Температура их низкая (до +5°). Состав растворенных солей для аллювиальных вод долины р. Ара — Кижи по формуле Курлова следующий:

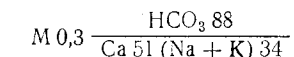


Вследствие наличия в разрезе аллювия водоупорных толщ (мерзлота, глинистые прослойки) и гидравлической связи с горизонтами вод других типов, пластовые воды часто обладают напорным характером. Питание их осуществляется за счет инфильтрации атмосферных осадков, вод поверхностных потоков и подтока вод из трещиноватых зон кристаллических пород. В балансе этих, а также трещинных вод, следует учитывать конденсационную влагу.

Пластово-трещинные воды приурочены к осадочным и вулканогенным толщам мезозоя — к эфузивам цаган-хунтейской свиты, осадочно-эфузивным породам юры, песчаникам и конгломератам гусиноозерской серии и имеют локальное распространение. Сюда же следует отнести слабо выраженный водоносный горизонт в кайнозойских базальтах.

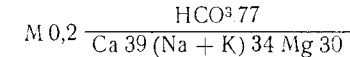
Водонасыщенность пород этого типа различна. Наиболее водообильны отложения гусиноозерской серии. Иногда в них образуется несколько водоносных горизонтов. Например, в долине р. Ара-Кижя водносность песчаников гусиноозерской серии приурочена к уровням в 15 и 90 м, а на правобережье р. Уды конгломераты и песчаники гусиноозерской серии имеют водоносные горизонты на глубинах 17,3; 43,65 и 93,4 м. Мощность горизонтов различна (5—30 м и более), дебит по замерам в буровых скважинах достигает 10 л/сек (Кижга-Горхонская депрессия), обычно же значительно ниже — 0,5—1,5 л/сек.

Воды этого типа обладают напором, слабо минерализованы (200—300 мг/л), гидрокарбонатно-кальциевые, реже с натриевой минерализацией, при жесткости 1,8—2,9 мг·экв. Формула Курлова для родника в пади Таяшинской имеет следующий вид:



Питание этого типа вод происходит путем инфильтрации атмосферных осадков непосредственно в обнаженную трещиноватую зону или, главным образом, из обводненных покрывающих четвертичных отложений. Имеет место подток из обводненных зон трещиноватости окружающих интрузивных массивов. Пластово-трещинные воды образуют многочисленные, но маломощные, родники (у моста Гортопа на левобережье р. Уды, в долинах Дардынкула, Ташеланки и др. местах).

Трещинные воды заполняют зоны трещиноватости интрузивных и метаморфических пород и широко развиты в данном районе. Мощность водонасыщенных трещиноватых зон очень различна и достигает первых десятков метров. Водообильность родников и скважин, вскрывающих горизонт, невелика (0,1—1,0 л/сек). Так, например, на месторождении Татарский Ключ дебет родника составляет 0,8 л/сек, а родника у пос. Известковый севернее с. Заиграево — 1 л/сек. По химизму воды этого типа сульфатно-гидрокарбонатно-натриево-магниево-кальциевые. Например, состав воды родника в долине руч. Аршан может быть иллюстрирован следующей формулой Курлова:



Характер минерализации определяется химизмом вмещающих толщ и застойностью вод. Среди них можно выделять трещинные воды метаморфических толщ, воды протерозойских, палеозойских и мезозойских интрузивных массивов.

Питание трещинных вод осуществляется за счет атмосферных осадков и фильтраций из кроющих толщ. Эти воды могут подпитывать горизонты вод в делювиально-пролювиальных отложениях склонов падей и верхний водоносный горизонт аллювиальных отложений. В основании склонов за счет этого может возникать заболачивание (например, по долине р. Баляга). Трещинные воды, особенно на участках контактов или дроблений, дают родники с повы-

шенным содержанием радона (г. Волчья, в бассейнах Шенестуя, Халсана и др.). Необходимо специальное изучение этих родников.

Трещинно-жильные воды зон разломов характеризуются выдержаным режимом (например, родники массива Бол. Ижир). Дебиты родников составляют 0,5—1,5 л/сек, характеризуются низкой температурой (+3, +5°), часто повышенной радиоактивностью. Родники этого типа не замерзают зимой (род. Зола). Минерализация их достигает 350—400 мг/л (сульфатно-гидрокарбонатная — магниево-щелочно-кальциевая), при этом в водах содержатся в повышенных количествах Mo, Sb, Ag, Zn и др. элементы. Питание их осуществляется за счет восходящих постмагматических или нагретых водозных вод, циркулирующих в трещиноватых зонах тектонических нарушений.

На территории листа присутствует остромия многолетняя мерзлота. Наибольшего развития она достигает по долинам и склонам северной экспозиции; отмечается так же в затененных участках водоразделов. Глубина залегания верхней поверхности мерзлого слоя летом не превышает 3—4 м, а его мощность достигает 12—15 м (ст. Нов. Илька). Надмерзлотные воды (воды деятельного слоя) тесно связаны с грунтовыми водами кроющих отложений склонов и с водами поверхностных потоков. Наличие многолетней мерзлоты вызывает заболачивание долин и частично объясняет появление верховых болот. На участках интенсивной лесопорубки и землепользования мерзлота деградирует.

В заключение необходимо отметить, что поверхностные и, используемые в настоящее время, подземные воды не могут полностью удовлетворить нужды населения, промышленности и сельского хозяйства. Поэтому на данной территории необходимо провести специальные гидрогеологические работы.

ЛИТЕРАТУРА

Опубликованная

Богданов В. В. Условия формирования и угленосность мезозойских отложений Тарбагатайской депрессии. 1961.

Завариков А. Н. Введение в петрохимию изверженных пород. Изд-во АН СССР, 1952.

Иванов Б. А. Угленосные и другие мезозойские континентальные отложения Забайкалья. 1949.

Материалы совещ. по расчленению гранитоидов Забайкалья. Улан-Удэ, 1960.

Нагибина М. С. К вопросу о тектонике верхнемезозойских впадин Забайкалья. Изв. АН СССР, сер. геол., № 1, 1948.

Нагибина М. С., Лучицкий И. В. О структурном расчленении Забайкалья. Изв. АН СССР, сер. геол., № 2, 1948.

Налетов П. И. Stratigraphy Центральной части Бурятской АССР. Госгеолтехиздат, 1961.

Нефедьева Л. П. Фациальные типы угленакопления на территории Бурятской АССР. Изв. АН СССР, сер. геол., № 6, 1961.

Флоренсов Н. А. Геоморфология и новейшая тектоника Забайкалья. Изв. АН СССР, сер. геол., № 2, 1948.

Флоренсов Н. А. Мезозойские и кайнозойские впадины Прибайкалья, АН СССР, 1960.

Фондовая *

Арсеньев А. А., Клевенский П. М. Геологические исследования в северо-восточной части Селенгинской Даурии, м-ба 1 : 1 000 000, 1940.

Безруков В. А. и др. Отчет о геологосъемочных работах м-ба 1 : 200 000 Ильинской партии за 1959 г. по листу М-49-І (западная половина), 1960.

* Фонды Бурятского геологического управления.

Безруков В. А. и др. Отчет о геологосъемочных работах м-ба 1 : 200 000 Ильинской партии за 1960 г. по листу М-49-І (восточная половина), 1961.

Валицкая И. С. Отчет о результатах геологоэкономической съемки в р-не Петровского завода, ч. 1, 1934.

Валицкая И. С. Геологическое строение р-на II — Забайкальского металлургического завода и перспектива железного оруденения, 1942.

Ветров Д. В. Объяснительная записка к геологической карте листа М-48-VI, м-ба 1 : 200 000, 1958.

Воронов Ю. Н., Базулин В. Ф., Степанов В. Ф. Отчет партии № 1 о результатах массовых поисков за 1960 г., 1961.

Гарифуллин А. Г. и др. Объяснительная записка к аэродиагностической и геологической картам бассейна рек Курба и Уда, 1958.

Доронина М. А. Отчет о проведенных работах по бурению разведочно-эксплуатационных скважин на воду на территории БМАССР за 1957 г., 1958.

Индюков И. Г. Отчет о поисково-съемочных работах на буроугольном месторождении Кузнецковский увал, 1947.

Коровин С. Н., Дербина А. Е. Геологическое строение бассейна р. Брянки, 1941.

Круцко Н. С., Чиркин Г. Ф. Отчет о детальных геологоразведочных работах, проведенных на Мухор-Талинском месторождении перлитов, 1960.

Латыш В. Т., Слипченко В. А., Цыбульский В. И. Предварительный отчет по теме: Критерии расчленения интрузивных комплексов Западного Забайкалья (лист М-49-І) для целей картирования и прогноза металлогенизма на основе геохимических индикаторов, 1961.

Легенда к государственным геологическим картам масштаба 1 : 200 000 Западно-Забайкальской серии, 1960.

Малышева Л. Н. Объяснительная записка к листу N-49-XXXI, 1959.

Налетов П. И. Объяснительная записка к листу М-48 м-ба 1 : 1 000 000, 1955.

Новиков В. А. Геологическое строение Заганского, Тугуйского и южных предгорий Цаган-Дабанского хребтов, 1954—1955, 1956.

Новиков В. А. Объяснительная записка к листу М-48-XVII масштаба 1 : 200 000, 1961.

Орлова Л. М., Лебедева Л. К. Сводный гидрогеологический очерк Центрального Забайкалья (лист М-49 м-ба 1 : 1 000 000), 1944—1945, 1946.

Панов В. И., Ермаков Г. А., Сотников Г. Д. Геологическое строение и полезные ископаемые верховьев бассейна р. Тугуй и прилегающих склонов Заганского и Цаган-Дабанского хребтов, 1961.

Потапенков А. Е. Отчет о поисково-разведочных работах на буроугольном месторождении Кузнецковский Увал, 1940.

Сагалуев Д. Д. Объяснительная записка к листу М-48-XI, масштаба 1 : 200 000, 1962.

Свиридов В. И. Заключение по разведочно-эксплуатационным буральным скважинам, пробуренным в Заиграевском р-не в 1956 г., 1957.

Стельмахович А. К. Отчет о результатах геологоразведочных работ на месторождении Кварцевая гора, 1956.

Сусленников В. В., Добин М. А. Отчет по аэромагнитным работам в Ц. Забайкалье за 1956 г., 1957.

Технический отчет о работах по бурению скважин на воду на ст. Горхон (скв. 1-5). Трансводстрой, 1954.

Тихомиров Н. И., Ефимов А. Н., Казицин Ю. В., Козубова Л. А., Рудакова Ж. Н., Тихомиров И. Н., Харкевич Д. С. Гранитоиды Прибайкалья и Забайкалья, т. 2, 1961, фонды ВСЕГЕИ.

ПРИЛОЖЕНИЕ I
СПИСОК МАТЕРИАЛОВ, ИСПОЛЬЗОВАННЫХ ДЛЯ СОСТАВЛЕНИЯ
КАРТЫ ПОЛЕЗНЫХ ИСКОПАЕМЫХ

№ п/п	Фамилия и инициалы автора	Название работы	Год составления или издания	Местонахождение материала, его фондовый № или место издания
1	Алексеев Л. С., Точилин Б. В.	Сводный геологический отчет по детальным разведкам Мойсовского месторождения	1955	Фонды БГУ*, № 0604
2	Безруков В. А. и др.	Отчет о геологосъемочных работах масштаба 1 : 200 000 Илькинской партии за 1959 г.	1960	Там же, № 01968
3	Безруков В. А. и др.	Отчет о геологосъемочных работах масштаба 1 : 200 000 Илькинской партии за 1960 г.	1961	Там же, № 02091
4	Валицкая И. С.	Геологическое строение р-на Петровск—Забайкальского металлургического завода и перспективы железного оруденения	1942	Там же, № 709
5	Воронов Ю. Н. и др.	Отчет партии № 1 о результатах массовых поисков за 1960 г.	1961	Там же, № 02094
6	Донцов В. Ф., Кузнецов Н. Г., Ржечицкий П. Б.	Отчет о разведке и подсчете запасов м-ния известняков Татарский Ключ	1951	Там же, № 738
7	Индюков И. Г.	Отчет о поисково-съемочных работах на буругольном месторождении Кузнецовский Увал	1947	Там же, № 1632
8	Кислякова М. В., Титов Д. В.	Отчет о работах Заиграевской геологической партии в 1940—1941 гг.	1941	Там же, № 875
9	Кислякова М. В.	Описание железорудных месторождений, тяготеющих к Петровск-Забайкальскому заводу	1942	Фонды ЧГУ*, № 0921

Продолжение прилож. I

№ п/п	Фамилия и инициалы автора	Название работы	Год составления или издания	Местонахождение материала, его фондовый № или место издания
10	Круцко Н. С., Чиркин Г. Ф.	Отчет о детальных геологоразведочных работах, проведенных на Мухор-Талинском месторождении перлита	1959	Фонды БГУ, № 1935
11	Ляшенок Г. Н.	Отчет о результатах полевых работ Петровско-Забайкальской магнитометрической партии, 1939 г.	1940	Там же, № 296
12	Оросеев А. А.	Предварительный отчет о дополнительной разведке Алентуйского месторождения глин	1935	Там же, № 683
13	Павлов Н. И.	Балягинское месторождение железняка в Забайкалье	1931	Фонды ЧГУ, № 131
14	Плотникова А. Е.	Отчет о поисково-разведочном обследовании месторождений камня в районе ст. Заиграево и Челутай ВСЖД и о детальной разведке Ново-Брянского месторождения сиенитов, проведенных в 1956—1957 гг.	1958	Фонды БГУ, № 1285
15	Потапенков А. Е.	Отчет о поисково-разведочных работах на буругольном месторождении Кузнецовский Увал	1940	Фонды ЧГУ, № 782
16	Слободчикова С.	Отчет по исследованию сырья Билотинского месторождения для производства портланд-цемента	1958	Фонды БГУ № 1720
17	Стельмахович А. К.	Отчет о результатах геологоразведочных работ на месторождении Кварцевая гора	1956	Фонды ЧГУ, № 01721
18	Цыденова Д. Э., Лашневич А. И.	Билотинское месторождение известняков	1959	Фонды БГУ, № 1804

* БГУ — Бурятское геологическое управление.

** ЧГУ — Читинское геологическое управление.

ПРИЛОЖЕНИЕ 2

СПИСОК ПРОМЫШЛЕННЫХ МЕСТОРОЖДЕНИЙ ПОЛЕЗНЫХ ИСКОПАЕМЫХ, ПОКАЗАННЫХ НА ЛИСТЕ М-49-1 КАРТЫ ПОЛЕЗНЫХ ИСКОПАЕМЫХ МАСШТАБА 1:200 000

№ по карте	Индекс клетки на карте	Наименование месторождения и вид полезного ископаемого	Состояние эксплуатации	Тип месторождения (к—коренное, р—рассыпное)	Номер используемого материала по списку (прилож. 1)
Металлические ископаемые					
24	IV-3	Магнетитовые руды Балягинское	Частично отработано, не эксплуатируется	к	12, 9, 3
Неметаллические ископаемые					
27	IV-3	Кварц Кварцевая Гора	Эксплуатируется	к	16, 3
Строительные материалы					
9	II-2	Сиенит Ново-Брянское	Не эксплуатируется	к	13, 2
4	I-3	Базальт Заудинское	Эксплуатируется местным населением	к	3
Перлит					
29	IV-3	Кусотинское (Дабатский участок)	Не эксплуатируется	к	3, 2
22	IV-2	Там же (Кусотинский участок)	То же	к	2
21	IV-2	Кусотинское (Шенестуйский участок)	То же	к	2
11	II-4	Мухор-Талинское	Эксплуатируется	к	10, 3
Кристаллический известняк					
25	IV-3	Балягинское	Не эксплуатируется	к	3

Продолжение прилож. 2

№ по карте	Индекс клетки на карте	Наименование месторождения в вид полезного ископаемого	Состояние эксплуатации	Тип месторождения (к—коренное, р—рассыпное)	Номер используемого материала по списку (прилож. 1)
16	III-2	Билютинское	То же	к	18, 17
30	IV-4	Грязнухинское	Отработано	к	3
2	I-1	Известковое	То же	к	2
31	IV-4	Кундулюнское	" "	к	3
18	III-2	Мойсовское	Эксплуатируется	к	1, 12, 2
1	I-1	Сохотинское	То же	к	2
5	I-3	Сутукульское	Не эксплуатируется	к	3
14	III-2	Татарский Ключ	Эксплуатируется	к	6, 2
7	II-1	Томахтайское	Не эксплуатируется	к	2
8	II-2	Черкашинское	Отработано	к	2
3	I-2	Доломит Тарабукинское	Эксплуатируется	к	2
20	III-9	Глины Алентуйское	Не эксплуатируется	к	6, 2
26	IV-3	Глины кирпичные Балягинское	Эксплуатируется	к	3
6	II-1	Бело-Гартинское	Эксплуатируется местным населением	к	2
10	II-3	Кундулюнское	То же	к	3
13	III-1	Старо-Брянское	" "	к	2

ПРИЛОЖЕНИЕ 3
СПИСОК НЕПРОМЫШЛЕННЫХ МЕСТОРОЖДЕНИЙ ПОЛЕЗНЫХ ИСКОПАЕМЫХ, ПОКАЗАННЫХ НА ЛИСТЕ М-49-1 КАРТЫ ПОЛЕЗНЫХ ИСКОПАЕМЫХ МАСШТАБА 1 : 200 000

№ по карте	Индекс клетки на карте	Наименование месторождения и вид полезного ископаемого	Состояние эксплуатации	Тип месторождения (к—коренное, р—россыпное)	Номер используемого материала по списку (прил. 1)
------------	------------------------	--	------------------------	---	---

Горючие ископаемые

32	IV-4	Бурый уголь Кузнецкий Увал	Не эксплуатируется	к	14, 7, 3
----	------	-------------------------------	--------------------	---	----------

ПРИЛОЖЕНИЕ 4
СПИСОК ПРОЯВЛЕНИЙ ПОЛЕЗНЫХ ИСКОПАЕМЫХ, ПОКАЗАННЫХ НА ЛИСТЕ М-49-1 КАРТЫ ПОЛЕЗНЫХ ИСКОПАЕМЫХ МАСШТАБА 1 : 200 000

№ по карте	Индекс клетки на карте	Название (местонахождение) проявления и вид полезного ископаемого	Характеристика проявления	Номер используемого материала по списку (прил. 1)
------------	------------------------	---	---------------------------	---

Металлические ископаемые

18	III-2	Магнетитовые Мойсовское	Магнитная аномалия	11, 8
28	VI-3	Молибден Кварцевая Гора	Вкрапленность молибдена в большом кварцевом штоке	3, 16
23	VI-3	Балагинское	Ореол рассеяния (по металлометрическому опробованию). Из 2488 в 448 пробах установлен молибден	3

Неметаллические ископаемые

19	III-2	Флюорит Бойцовское	Редкая вкрапленность флюорита в зоне окварцевания	2
12	III-1	Поперечинское	Вкрапленность флюорита в зоне окварцевания	2
15	III-2	Шелутайское	Вкрапленность флюорита в зоне окварцевания	2

СОДЕРЖАНИЕ

	Стр.
Введение	3
Стратиграфия	5
Интузивные образования	16
Тектоника	28
Геоморфология	35
Полезные ископаемые	38
Подземные воды	46
Литература	48
Приложения	50

Редактор издательства *Е. Я. Соколовская* Техн. редактор *В. В. Романова*
Корректор *Э. И. Капульская*

Подписано в печать 11/VIII 1970 г. Уч.-изд. л. 5,5
Формат 60×90¹/₁₆ Печ. л. 3,5 Заказ № 03134
Тираж 100 экз.

Издательство «Недра»
Ленкартфабрика ВАГТ